

Proudění v potrubí

DRUHY PROUDĚNÍ V POTRUBÍ

Rozdělení dle časového hlediska

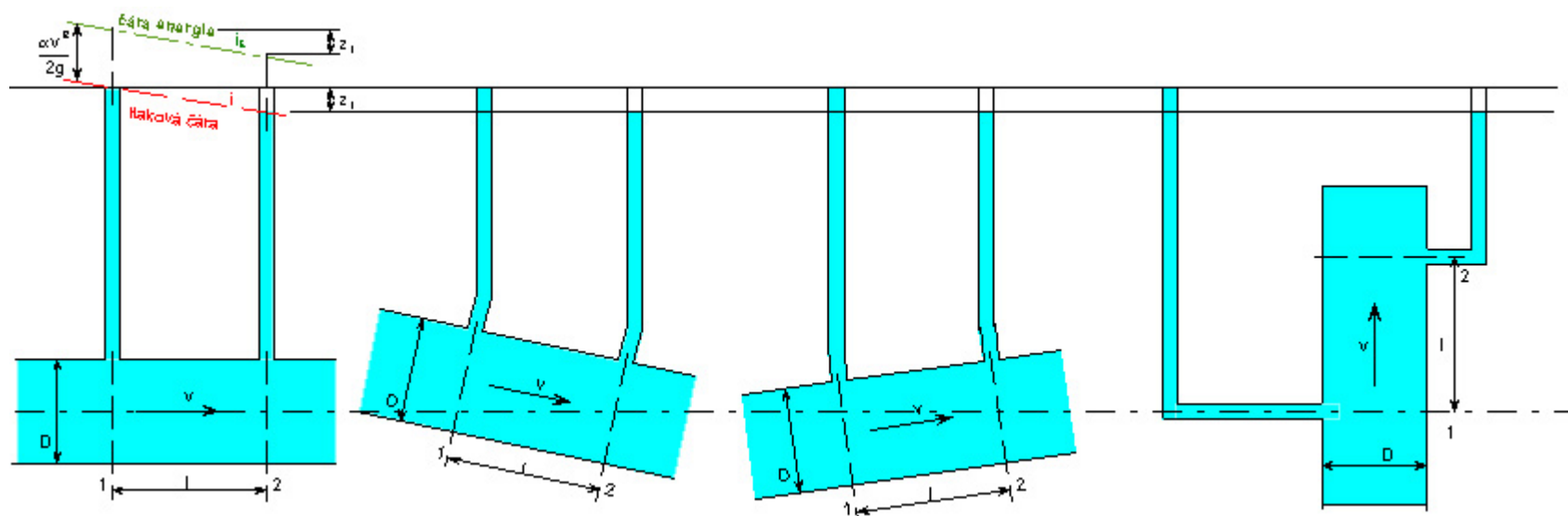
- proudění ustálené ($Q \neq f(t)$, $v \neq f(t)$ )
- proudění neustálené pomalu proměnné ($Q = f(t)$, $v = f(t)$, $p = f(t)$. . .)
typický příklad – zásobování pitnou vodou ve vodárenských soustavách (Q závisí na velikosti odběrů, rozložení spotřeby v průběhu dne).
výpočet v praxi – návrh potrubí pro nejvíce nepříznivý stav pomocí výpočetních postupů ustáleného proudění
- proudění neustálené rychle proměnné – náhlá změna průtoku v potrubí \Rightarrow důsledek **vodní ráz** – rychlé šíření tlakových změn
příčina vodního rázu – objemová stlačitelnost kapalin
typický příklad – náhlé zastavení turbín, čerpadel, uzávěrů

Rozdělení proudění v uzavřených profilech dle působících sil

- tlakové proudění – dominantní vliv tlakového gradientu, nezáleží na sklonu potrubí

typické příklady

- proudění pitné vody ve vodárenských soustavách
- proudění vody ve spodních výpustích přehrad



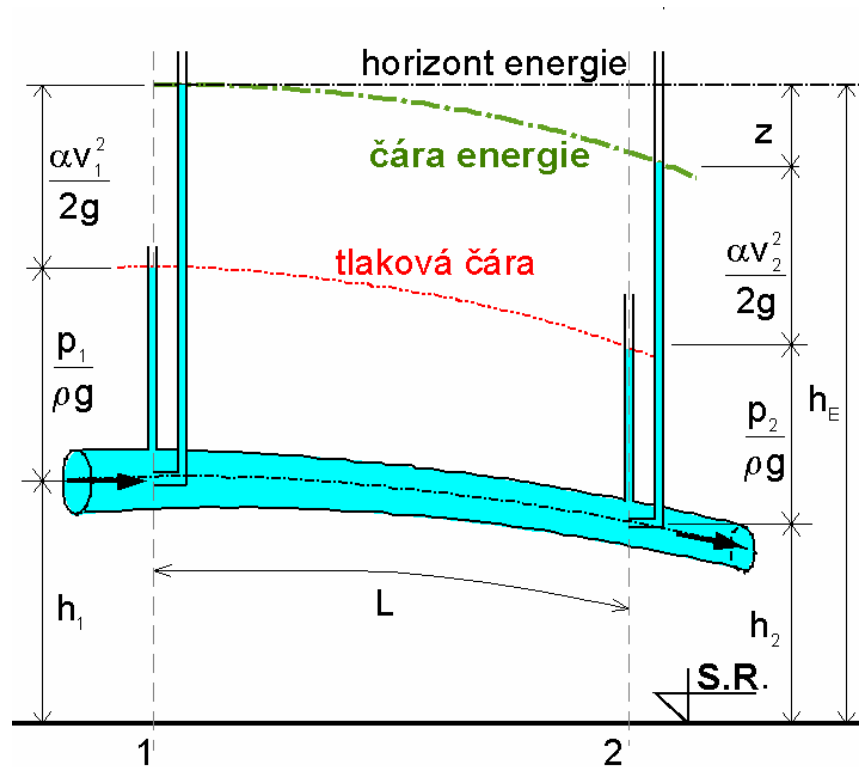
- proudění s volnou hladinou – dominantní vliv objemových (gravitačních sil), proudění závisí na sklonu dna
typický příklad – dvoufázové proudění ve stokových systémech

ZÁKLADNÍ VÝPOČETNÍ PRINCIPY USTÁLENÉHO TLAKOVÉHO PROUDĚNÍ V POTRUBÍ

- aplikace zákona zachování mechanické energie
 rovnice Bernoulliho pro ustálené proudění skutečné kapaliny
 (vazkost $\nu \neq 0$)
- aplikace zákona zachování hmoty
 rovnice spojitosti pro ustálené 1D proudění
- náhrada skutečného rozdělení rychlosti u v příčném průřezu profilu
 střední průřezovou rychlostí \bar{v}

BERNOULLIHO ROVNICE PRO USTÁLENÉ PROUDĚNÍ SKUTEČNÉ KAPALINY

$$\left(h_1 + \frac{p_1}{\rho \cdot g} + \frac{\alpha \cdot v_1^2}{2 \cdot g} \right) - \left(h_2 + \frac{p_2}{\rho \cdot g} + \frac{\alpha \cdot v_2^2}{2 \cdot g} \right) = Z$$



Z – ztráty mechanické energie

$$Z = Z_t + Z_m$$

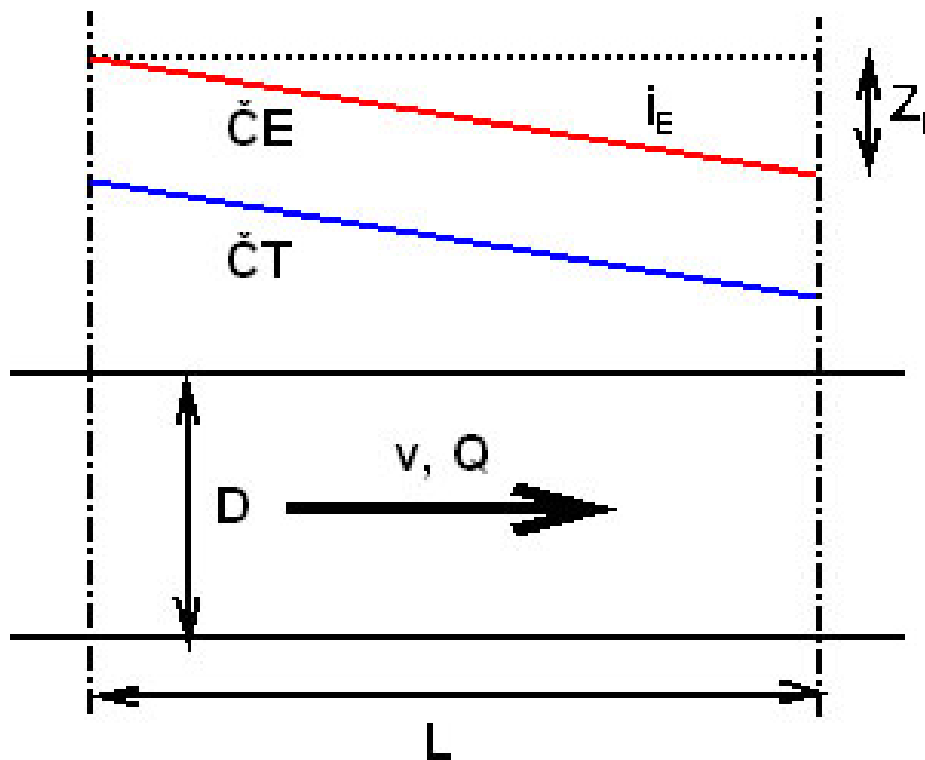
Z_t – ztráty třením

Z_m – ztráty místní

ZTRÁTY TŘENÍM

rovnoměrné ustálené proudění \Leftrightarrow

$$\frac{\partial v}{\partial t} = 0, D = \text{konst.}$$



$$Z_t = i_E \cdot L \text{ [m]} \quad \text{ztráta třením}$$

i_E [-] – hydraulický sklon

sklon **čáry energie**

$$Z_t = \frac{\lambda \cdot L}{D} \cdot \frac{v^2}{2 \cdot g} \text{ [m]}$$

λ [-] - součinitel ztráty třením

$$\lambda = f\left(\text{Re}, \frac{\Delta}{D}\right)$$

Re [-] – Reynoldsovo číslo $\text{Re} = \frac{v \cdot D}{\nu}$

$\frac{\Delta}{D}$ [-] – relativní drsnost potrubí

DRSNOST POTRUBÍ

! Nejednotná terminologie při definici drsnosti v literatuře !

**absolutní drsnost Δ [m] nebo [mm]- výška výstupků nerovností
vnitřního povrchu stěn potrubí**

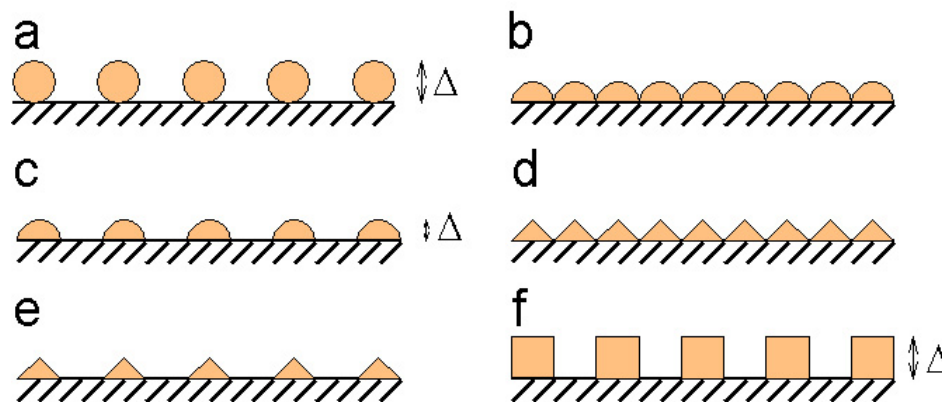
**jednoznačná hodnota – pouze u geometricky homogenních
povrchů**

homogenní povrch – pouze u umělé drsnosti

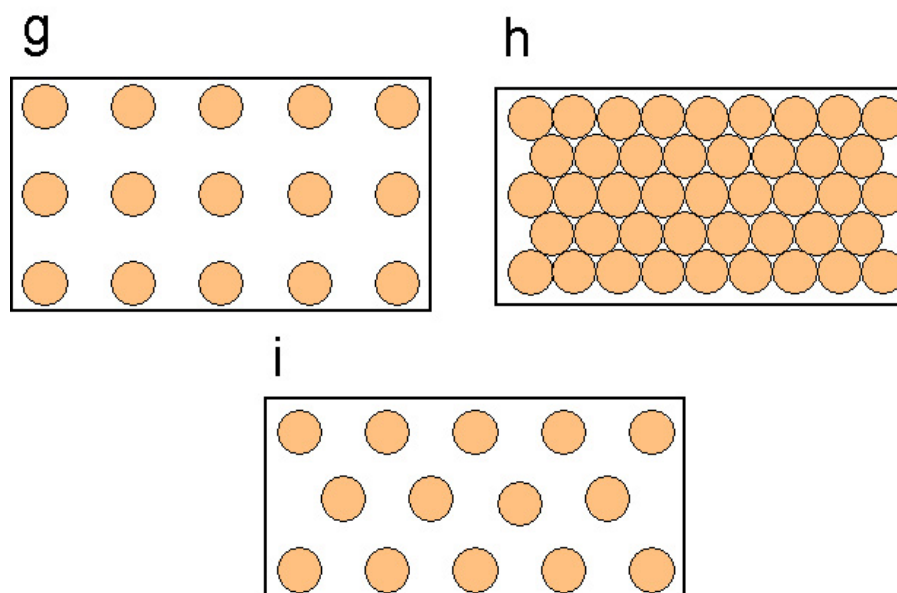
**nehomogenní povrch – skutečný povrch technicky vyráběného
potrubí**

Absolutní drsnost

tvar a výška
výstupků

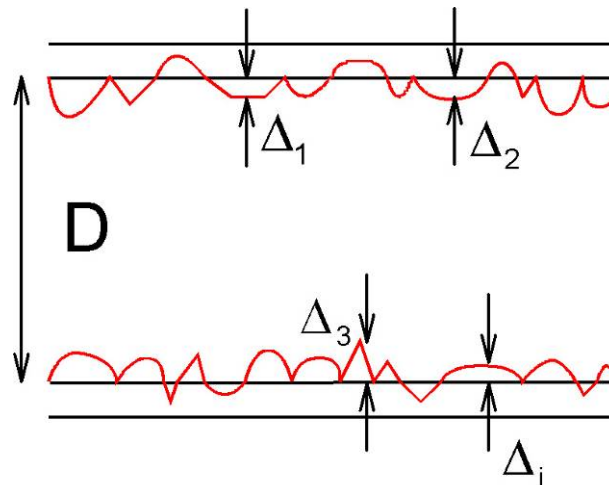


plošné rozmístění
výstupků



„písková drsnost“ – b-h \leftrightarrow Nikuradseho pokusy

Drsnost technicky vyráběných potrubí



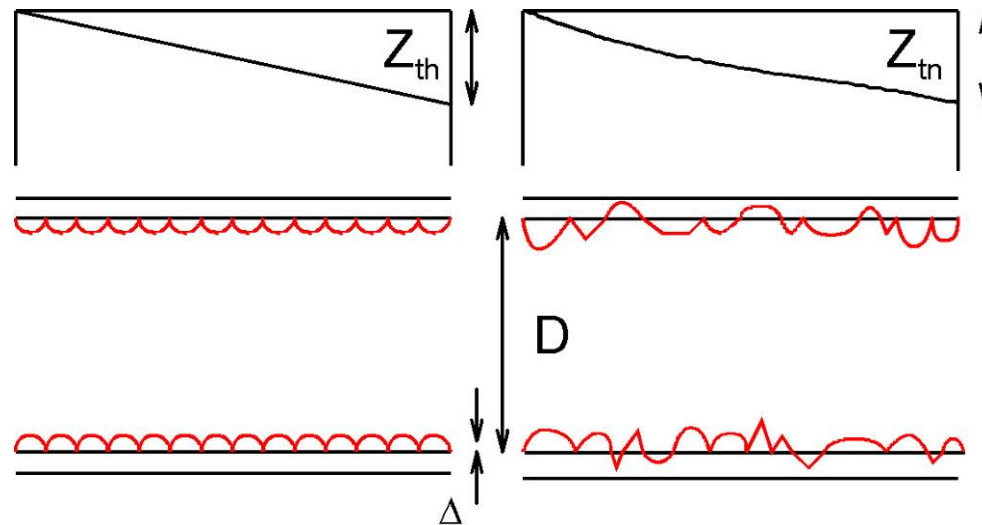
- výška a prostorové rozložení výstupků se nepravidelně mění
- není možné stanovit jednoznačnou hodnotu Δ
- na ztráty mají kromě nerovností povrchu vliv i deformace ve spojích, výchylky v ose
- deformace potrubí po delším uložení na nerovném podkladu
- změna vnitřního povrchu potrubí („stárnutí potrubí“)



Hydraulická drsnost

Zavedení pojmu hydraulická drsnost

Porovnání ztrát třením na potrubí se známou umělou pískovou drsností se ztrátami třením na technickém potrubí (využití hydraulických laboratoří).



Jsou-li ztráty třením Z_{th} při proudění v potrubí s homogenní drsností o výšce výstupků Δ v kvadratické oblasti shodné se ztrátou třením na potrubí s nehomogenním povrchem Z_{tn} při stejném průtoku průměru a délce potrubí, přiřadí se tomuto potrubí **hydraulická drsnost o výšce Δ** .

Relativní drsnost

Absolutní nebo hydraulická drsnost nevystihují přímo vliv charakteru povrchu na součinitele ztrát třením.

důležitý vzájemný vztah absolutní nebo hydraulické drsnosti a rozměru potrubí \Rightarrow **relativní drsnost**

relativní drsnost - poměr hydraulické (absolutní) drsnosti a charakteristického rozměru potrubí **D**, **r₀**, **R** (**r₀** – poloměr potrubí, **R** – hydraulický poloměr **S/O**)

různé výrazy charakterizující relativní drsnost v odborné literatuře

$$\frac{\Delta}{D} \text{ , } \frac{\Delta}{r_0} \text{ , } \frac{\Delta}{R}$$

Hydraulické drsnosti Δ pro technicky vyráběná potrubí

Druh potrubí	Stav potrubí	Δ [mm]
azbestocementové	nové	0.5
	po použití	1
ocelové bezešvé	nové	0.01-0.02
	po použití	0.15
	po delším provozu	0.3
ocelové svařované	nové	0.03-0.1
	mírně zrezivělé	0.3-0.7
	silně zrezivělé	2-4
litinové	nové	0.01-0.16
	po použití	0.5-1.5
	silně zrezivělé	2-3
plastové (PVC, PE)	nové	0.001-0.003
	po delším provozu	0.01-0.015
betonové	nové	0.15-0.5
	po delším provozu	1-3

Jako hydraulicky hladké potrubí je možné uvažovat potrubí vyráběná jako „technicky hladká“ :

sklo, mosaz, měď, hliník, plasty

Stárnutí potrubí :

- **rozrušování povrchu unášenými částicemi**
- **usazování suspendovaných a rozpuštěných látek**
- **inkrustace potrubí vylučováním zejména vápenných solí**

Hydraulicky odlišné oblasti proudění

závislost ztrát třením na rychlosti

$$Z_t = a \cdot v^b$$

1 laminární proudění – **b=1** \Rightarrow lineární oblast ztrát

2 oblast přechodu (kritická oblast) \Leftrightarrow přechod mezi laminárním a turbulentním prouděním **2300 < Re < 4000 až 5000**

$$Re_k \approx 2320$$

3 turbulentní proudění v hydraulicky hladkém potrubí – **b \approx 1.75**

$$\lambda = f(Re)$$

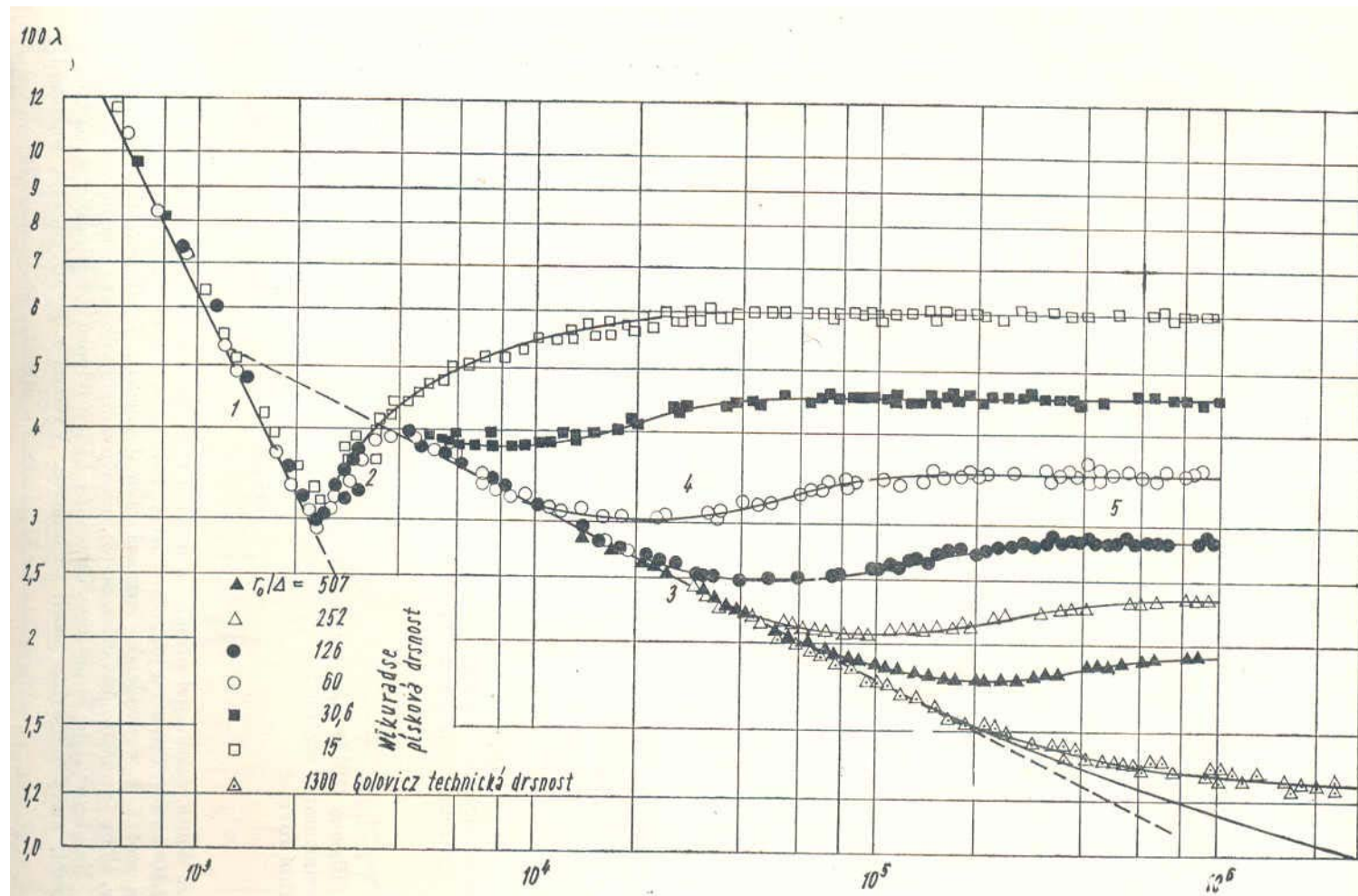
4 turbulentní proudění v přechodné oblasti – **1.75 < b < 2**

$$\lambda = f\left(Re, \frac{\Delta}{D}\right)$$

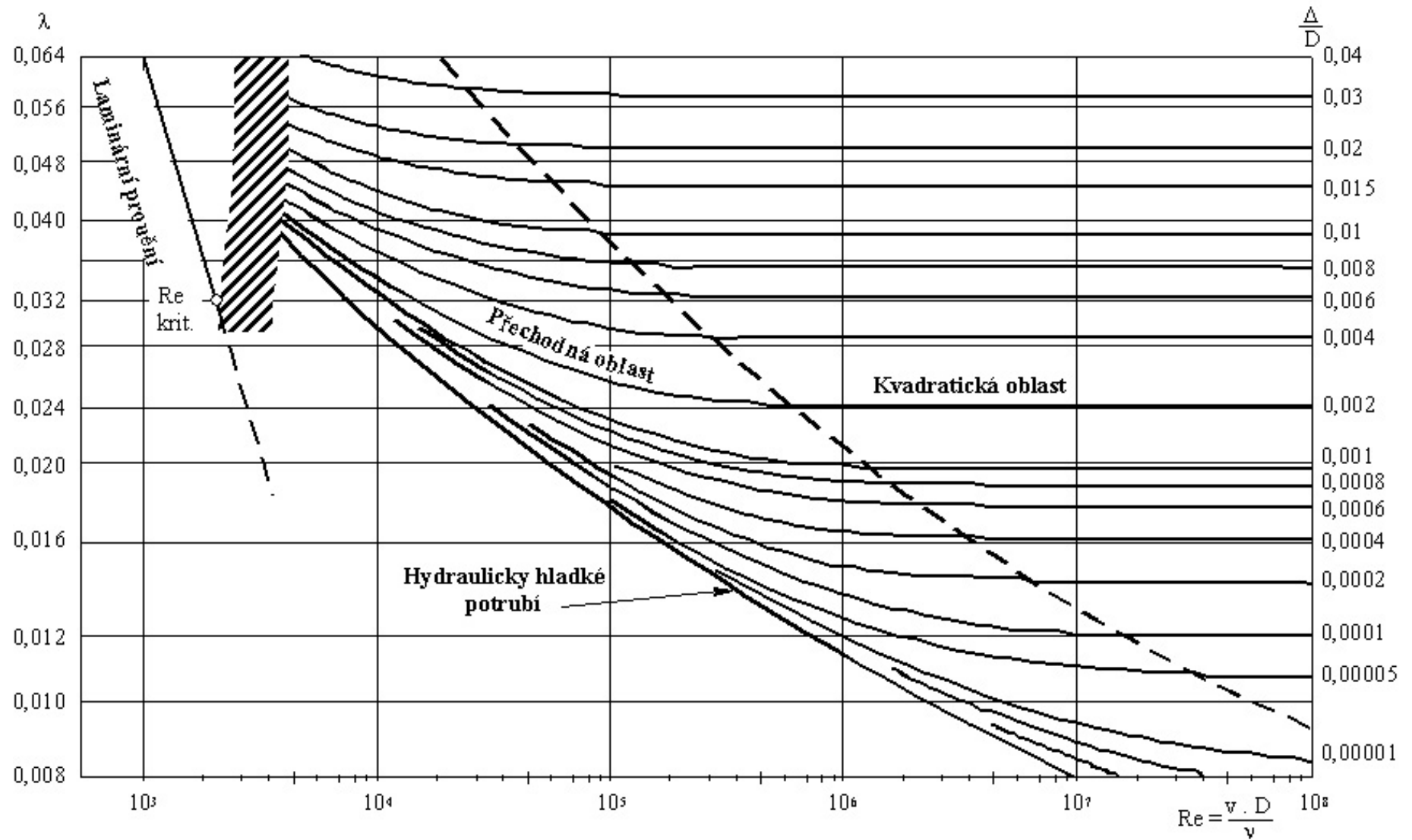
5 Hydraulicky drsné potrubí v kvadratické oblasti - **b=2**

$$\lambda = f\left(\frac{\Delta}{D}\right)$$

Nikuradseho diagram pro potrubí s umělou drsností



Moodyho diagram



Empirické rovnice pro výpočet součinitele tření

- hydraulicky hladké potrubí

autor	rovnice	platnost
Blasius	$\lambda = \frac{0.3164}{\text{Re}^{0.25}}$	$4 \cdot 10^3 < \text{Re} < 10^5$
Prandtl-Kármán	$\frac{1}{\sqrt{\lambda}} = 2 \cdot \log(\text{Re} \cdot \sqrt{\lambda}) - 0.8$	$4 \cdot 10^3 < \text{Re} < 10^8$
Altšul	$\frac{1}{\sqrt{\lambda}} = 1.82 \cdot \log \frac{\text{Re}}{100} + 2$	$2.5 \cdot 10^3 < \text{Re} < 10^{12}$
Konakov	$\lambda = \frac{1}{(1.8 \cdot \text{Re} - 1.5)^2}$	$4 \cdot 10^3 < \text{Re} < 10^5$

• přechodná oblast

autor	rovnice	platnost
Colebrook-White	$\frac{1}{\sqrt{\lambda}} = -2 \cdot \log \left[\frac{2.51}{\text{Re} \cdot \sqrt{\lambda}} + \frac{\Delta}{3.71 \cdot D} \right]$	$\text{Re} > 4 \cdot 10^3$
El-Abdala	$\frac{1}{\sqrt{\lambda}} = -2 \cdot \log \left[\frac{6.524}{\text{Re}^{0.908}} + \frac{\Delta}{3.71 \cdot D} \right]$	$10^4 < \text{Re} < 10^8$ $10^{-5} < \Delta/d < 10^{-1}$
Haaland	$\frac{1}{\sqrt{\lambda}} = -1.8 \cdot \log \left[\frac{6.9}{\text{Re}} + \left(\frac{\Delta}{3.71 \cdot D} \right)^{1.11} \right]$	$4 \cdot 10^4 < \text{Re} < 10^8$ $\Delta/d < 10^{-2}$
Altšul	$\lambda = 0.11 \cdot \left[\frac{68}{\text{Re}} + \frac{\Delta}{D} \right]^{0.25}$	$\text{Re} > 4 \cdot 10^3$
Moody	$\lambda = 0.0053 \cdot \left[1 + \left(20000 \cdot \frac{\Delta}{D} + \frac{10^6}{\text{Re}} \right)^{\frac{1}{3}} \right]$	$4 \cdot 10^3 < \text{Re} < 10^7$ $\Delta/d < 10^{-1}$

• kvadratická oblast

autor	rovnice	platnost
Nikuradse	$\lambda = \left(2 \cdot \log \frac{r_0}{\Delta} + 1.74 \right)^{-2}$	$\text{Re} > 4 \cdot 10^3$
Šifrinson	$\lambda = 0.11 \cdot \left(\frac{\Delta}{D} \right)^{0.25}$	$10^4 < \text{Re} < 10^8$ $10^{-5} < \Delta/d < 10^{-1}$

Obecnější platnost rovnice Colebrook-Whiteova

úprava rovnice Nikuradseho pro kvadratickou oblast ztrát

$$\lambda = \left(2 \cdot \log \frac{r_0}{\Delta} + 1.74 \right)^{-2} = \left[2 \cdot \left(\log \frac{D}{2 \cdot \Delta} + 0.87 \right) \right]^{-2} = \frac{0.25}{\left(\log \frac{D}{2 \cdot \Delta} + \log 7.42 \right)^2} = \frac{0.25}{\left(\log \frac{3.71 \cdot D}{\Delta} \right)^2}$$

úprava rovnice Prandtl-Kármána pro hydraulicky hladké potrubí

$$\frac{1}{\sqrt{\lambda}} = 2 \cdot \log(\text{Re} \cdot \sqrt{\lambda}) - 0.8 = 2 \cdot (\log(\text{Re} \cdot \sqrt{\lambda}) - 0.4) = 2 \cdot \left(\log(\text{Re} \cdot \sqrt{\lambda}) + \log \frac{1}{2.51} \right) = 2 \cdot \log \frac{\text{Re} \cdot \sqrt{\lambda}}{2.51}$$

rovnice Colebrook-Whiteova

$$\frac{1}{\sqrt{\lambda}} = -2 \cdot \log \left[\frac{2.51}{\text{Re} \cdot \sqrt{\lambda}} + \frac{\Delta}{3.71 \cdot D} \right]$$

$$\text{Re} \rightarrow \infty \Rightarrow \frac{2.51}{\text{Re} \cdot \sqrt{\lambda}} \rightarrow 0 \quad \frac{1}{\sqrt{\lambda}} \approx -2 \cdot \log \frac{\Delta}{3.71 \cdot D} \quad \Leftrightarrow \text{Nikuradseho r.}$$

$$\frac{\Delta}{D} \rightarrow 0 \Rightarrow \frac{\Delta}{3.71 \cdot D} \rightarrow 0 \quad \frac{1}{\sqrt{\lambda}} = -2 \cdot \log \frac{2.51}{\text{Re} \cdot \sqrt{\lambda}} \quad \Leftrightarrow \text{Prandtl-Kárm. r.}$$

Určení hranic mezi jednotlivými oblastmi proudění

- **hydraulicky hladké potrubí**

$$\text{Re} < \text{Re}_{m1} \approx \frac{D}{\Delta} \cdot \log\left(0.1 \cdot \frac{D}{\Delta}\right) \quad \text{Eck} \quad \text{Re}_{m1} = \frac{28.2 \cdot D}{\Delta} \cdot \log\left(\frac{5.6 \cdot D}{\Delta}\right)$$

- **hranice kvadratické oblasti ztrát třením**

$$\text{Re} > \text{Re}_{m2} = \frac{A}{\sqrt{\lambda}} \cdot \frac{D}{\Delta} \quad \text{Nikuradse } A=191 \quad \text{Colebrook } A=200$$

$$\text{Nikuradse} \quad \text{Re}_{m2} = \frac{400 \cdot D}{\Delta} \cdot \log\left(\frac{3.71 \cdot D}{\Delta}\right)$$

$$\text{Šifrinson} \quad \text{Re} > \frac{500 \cdot D}{\Delta}$$

- **použití diagramů (Moody)**

Jiné výpočetní postupy výpočtu ztrát třením v kvadratické oblasti ztráty třením

- z obecné rovnice rovnoměrného proudění

rovnice Chezyho

$$v = C \cdot \sqrt{R \cdot i_E}$$

C – Chezyho rychlostní součinitel

po aplikaci rovnice spojitosti $Q = v \cdot S$

$$Q = C \cdot S \cdot \sqrt{R \cdot i_E} = K \sqrt{i_E} \Rightarrow i_E = \frac{1}{K^2} \cdot Q^2 = A \cdot Q^2$$

K – modul průtoku [$m^3 \cdot s^{-1}$]

A – modul ztráty třením [$m^{-6} \cdot s^2$] $A = f_{ce}(D, \text{materiál p.})$

empirické rovnice pro stanovení C

Empirické rovnice pro stanovení součinitele **C**

z rovnice Manninga $C = \frac{R^{1/6}}{n}$

rovnice Pavlovského $C = \frac{R^y}{n}$ $y = 2.5 \cdot \sqrt{n} - 0.13 - 0.75 \cdot (\sqrt{n} - 0.10)$

n – manningův součinitel drsnosti

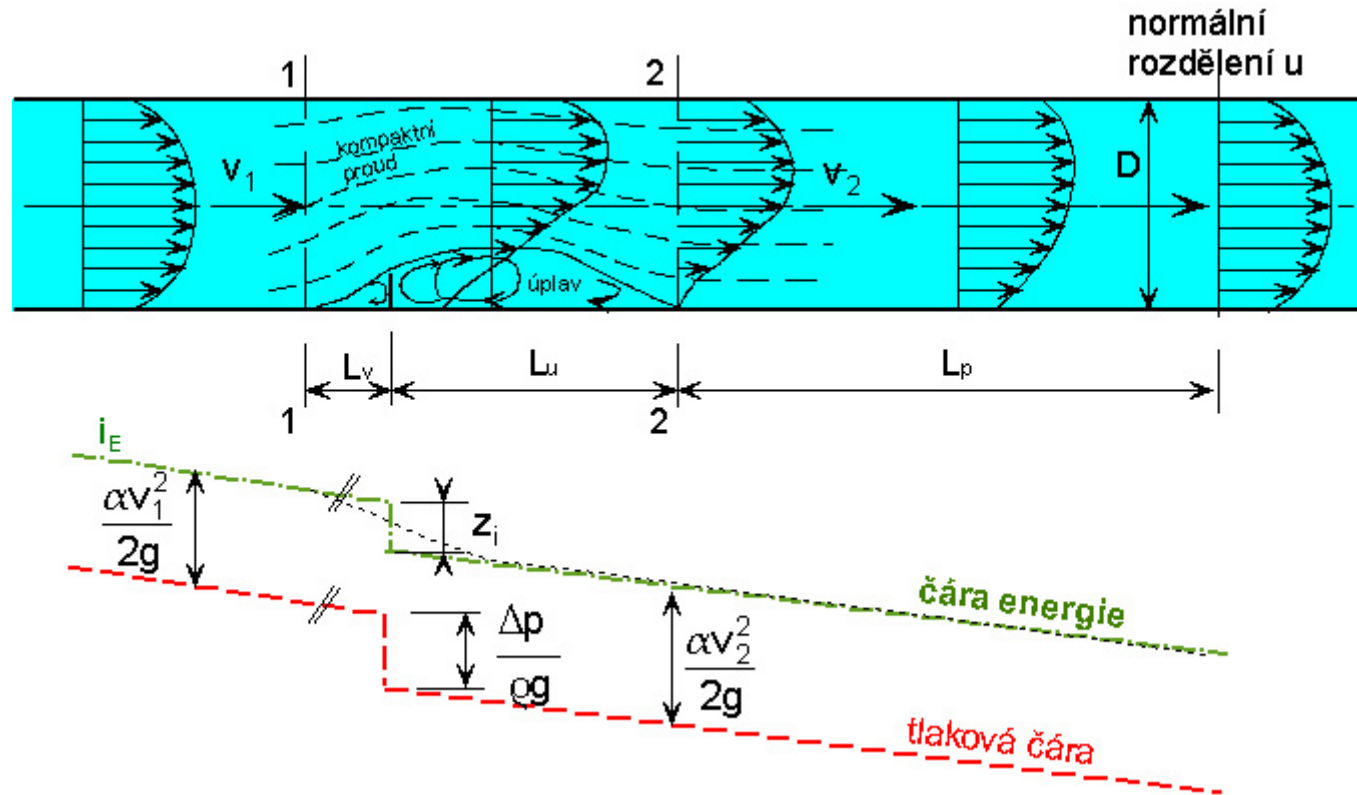
vyjádřením i_E s Darcy-Weisbachovy rovnice a z Chezyho rovnice dostaneme vztah mezi **C** a λ .

$$C = \sqrt{\frac{8 \cdot g}{\lambda}} \quad \lambda = \frac{8 \cdot g}{C^2}$$

ZTRÁTY MÍSTNÍ

místní ztráty \Leftrightarrow důsledek deformace rychlostního pole

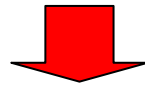
příčina \Leftrightarrow překážka v potrubí působící na proudění



délka úseku s ovlivněným prouděním $L=L_v+L_u+L_p$

Charakteristika jednotlivých úseků

- L_v – vstupní úsek \Leftrightarrow délka úseku před překážkou, ve kterém je možné pozorovat deformaci rychlostního pole
- L_u – úsek s úplavou \Leftrightarrow dochází k odtržení proudu od stěny potrubí, oblast intenzivních vírů (turbulence)
- L_p – přechodový úsek \Leftrightarrow délka úseku za úsekem úplavy, kde se rychlostní pole postupně vyrovnává



ztráty místní se vytváří na celé délce

$L \approx$ řádově 10 až 100 D

$$L = L_v + L_u + L_p$$

!!! Výpočet místních ztrát v praxi : zjednodušení !!!

celková hodnota ztrátové výšky Z_m se přisoudí profilu překážky \Rightarrow

oproti skutečnosti se čára energie snižuje v profilu překážky skokem

Výpočet ztrátové výšky

$$Z_m = \xi \cdot \frac{v^2}{2 \cdot g} \quad [m]$$

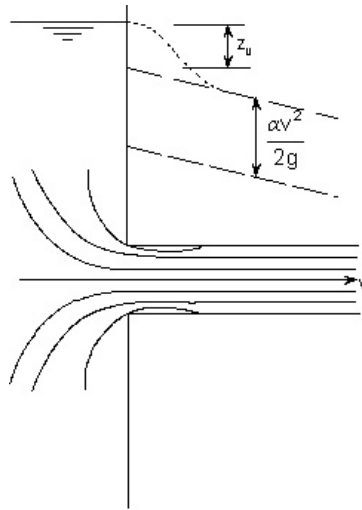
ξ [-] - součinitel místní ztráty
stanovení ξ zpravidla dle hydraul. tabulek

Typické objekty na potrubí s výskytem místních ztrát :

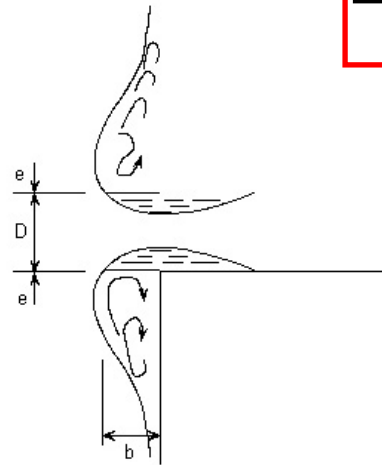
- vtok do potrubí
- náhlé zúžení a rozšíření průřezu potrubí
- postupné (kónické) zúžení a rozšíření průřezu
- změna směru potrubí (ostrá a oblouková kolena)
- tvarovky (rozdělení a spojení proudů)
- uzávěry pro regulaci průtoku (šoupata, klapky, kohouty, ventily)
- výtok z potrubí do nádrže
- clony, venturimetry, objemové vodoměry
- sací koše a jiné speciální objekty

Místní ztráta na vtoku do potrubí

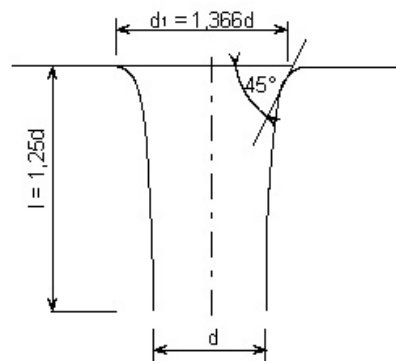
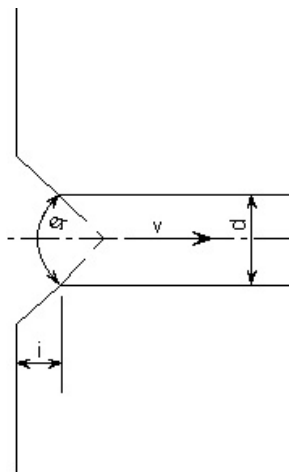
$$Z_{vt} = \xi_{vt} \cdot \frac{v^2}{2 \cdot g}$$



ostrá vstupní hrana



vyšunutý vtok do nádrže

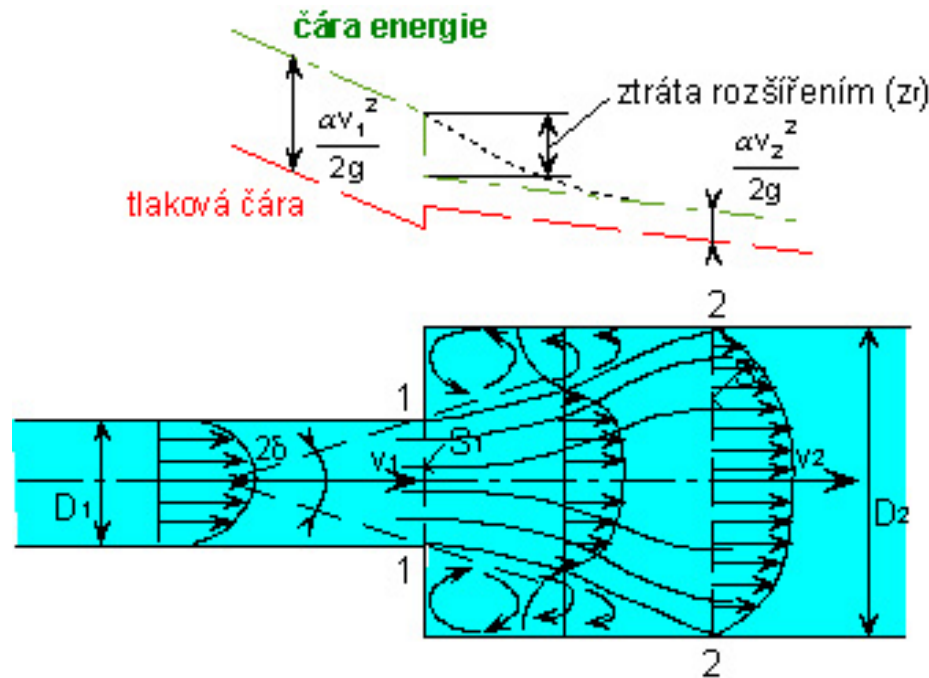


řešení hydraulicky vhodných vtoků do potrubí

Tabulka – hodnoty součinitele místní ztráty na vtoku pro různá konstrukční provedení vtoku

typ vtoku	platnost	ξ_{vt}
potrubí zasahuje do nádrže		0.8÷1.0
ostrá vstupní hrana		0.5
seříznutá vstupní hrana	L/D≈0.1	0.25
zaoblená vstupní hrana		0.20
kónicky rozšířený vtok	2σ=(40÷80)° L/D=(0.2÷0.3)	0.13
kruhově zaoblený vtok	r=0.2·D	0.11
vtok dle Lískovce (strofoida)		0.04

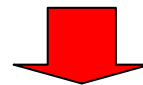
Místní ztráta náhlým rozšířením potrubí (Bordova ztráta)

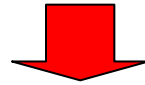


$$Z_{nr} = \zeta_{nr2} \cdot \frac{v_2^2}{2 \cdot g} = \zeta_{nr1} \cdot \frac{v_1^2}{2 \cdot g}$$

předpoklad: tlak v potrubí průměru D_1 před rozšířením je stejný jako tlak v potrubí průměru D_2 v profilu těsně za rozšířením

Odvození na základě věty o hybnosti a Bernoulliho rovnice





dle věty o hybnostech

$$\rho \cdot Q \cdot v_1 + p_1 \cdot S_2 = \rho \cdot Q \cdot v_2 + p_2 \cdot S_2$$

$$p_1 - p_2 = \frac{1}{S_2} \cdot \rho \cdot Q \cdot v_2 - \frac{1}{S_2} \cdot \rho \cdot Q \cdot v_1$$

$$p_1 - p_2 = \rho \cdot v_2^2 - \rho \cdot v_1 \cdot v_2$$

Bernoulliho rovnice
pro vodorovnou osu

$$\frac{p_1}{\rho \cdot g} + \frac{v_1^2}{2 \cdot g} = \frac{p_2}{\rho \cdot g} + \frac{v_2^2}{2 \cdot g} + Z_{nr}$$

$$p_1 + \frac{1}{2} \cdot \rho \cdot v_1^2 = p_2 + \frac{1}{2} \cdot \rho \cdot v_2^2 + Z_{nr} \cdot \rho \cdot g$$

$$p_1 - p_2 = \frac{1}{2} \cdot \rho \cdot v_2^2 - \frac{1}{2} \cdot \rho \cdot v_1^2 + Z_{nr} \cdot \rho \cdot g$$

porovnáním

$$\frac{1}{2} \cdot \rho \cdot v_2^2 - \frac{1}{2} \cdot \rho \cdot v_1^2 + Z_{nr} \cdot \rho \cdot g = \rho \cdot v_2^2 - \rho \cdot v_1 \cdot v_2$$

$$Z_{nr} = \frac{1}{2 \cdot g} \cdot (v_2^2 - 2 \cdot v_1 \cdot v_2 + v_1^2)$$

$$Z_{nr} = \frac{1}{2 \cdot g} \cdot (v_1 - v_2)^2$$

$$Z_{nr} = \frac{1}{2 \cdot g} \cdot (v_1 - v_2)^2, \quad v_1 \cdot S_1 = v_2 \cdot S_2 \Rightarrow v_1 = \frac{v_2 \cdot S_2}{S_1}$$

$$Z_{nr} = \frac{1}{2 \cdot g} \cdot \left(\frac{v_2 \cdot S_2}{S_1} - v_2 \right)^2$$

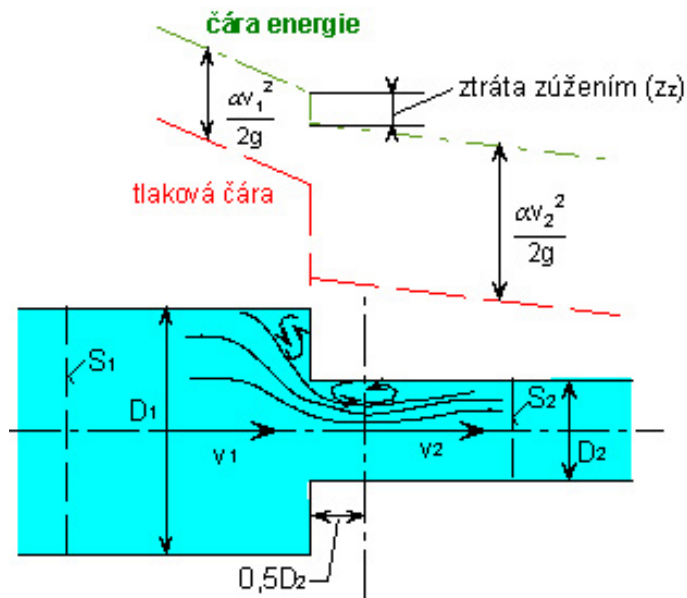
$$Z_{nr} = \frac{1}{2 \cdot g} \cdot v_2^2 \left(\frac{S_2}{S_1} - 1 \right)^2$$

$$\xi_{nr} = \left(\frac{S_2}{S_1} - 1 \right)^2 = \left(\frac{D_2^2}{D_1^2} - 1 \right)^2$$

Tabulka – hodnoty součinitele místní ztráty náhlého rozšíření

D_2/D_1	1.0	1.2	1.4	1.6	1.8	2.0	3.0
S_2/S_1	1.0	1.44	1.96	2.56	3.24	4.0	9.0
ξ_{nr}	0	0.194	0.922	2.434	5.018	9.0	64.0

Místní ztráta náhlým zúžením potrubí



$$Z_{nz} = \xi_{nz} \cdot \frac{v_2^2}{2 \cdot g}$$

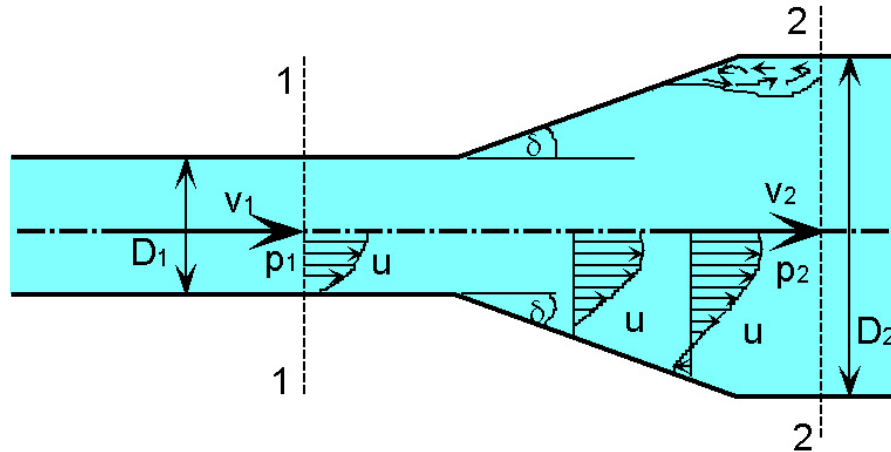
$$\xi_{nz} = fce \left(\frac{S_2}{S_1} \right)$$

$$\xi_{nz} = \left(\frac{1}{\varepsilon} - 1 \right)^2 \text{ kde } \varepsilon = 0.57 + \frac{0.043}{1.1 - \frac{S_2}{S_1}}$$

Tabulka – hodnoty součinitele místní ztráty náhlého zúžení

D_2/D_1	0.95	0.89	0.83	0.775	0.71	0.63	0.55	0.45	0.32
S_2/S_1	0.9	0.8	0.7	0.6	0.5	0.4	0.3	0.2	0.1
ξ_{nz}	0.075	0.16	0.23	0.275	0.31	0.34	0.36	0.38	0.40
Tullis	0.01	0.062	0.10	0.164	0.22	0.27	0.31	0.34	0.36
Douglas			0.14		0.24		0.34		0.41

Místní ztráta kónickým rozšířením potrubí



$$Z_{kr} = \xi_{kr} \cdot \frac{v_2^2}{2 \cdot g}$$

$$\xi_{kr} = fce \left(\frac{S_2}{S_1}; \delta \right)$$

Tabulka – hodnoty součinitele místní ztráty kónického rozšíření

S_2/S_1	1.5	2.0	2.5	3.0	4.0	6.0	8.0
$2 \cdot \delta = 5^\circ$	0.03	0.05	0.06	0.07	0.08	0.09	0.10
$2 \cdot \delta = 10^\circ$	0.02	0.05	0.06	0.07	0.08	0.10	0.12
$2 \cdot \delta = 15^\circ$		0.06	0.08	0.10	0.13	0.17	0.20
$2 \cdot \delta = 20^\circ$					0.17	0.20	0.23

Místní ztráta kónickým zúžením potrubí

$$Z_{kz} = \xi_{kz} \cdot \frac{v_2^2}{2 \cdot g} \quad \xi_{kz} = fce(\delta)$$

Tabulka – hodnoty součinitele místní ztráty kónického zúžení

$2 \cdot \delta$	5°	7°	10°	20°	30°	60°
ξ_{kz}	0.06	0.12	0.16	0.20	0.24	0.32

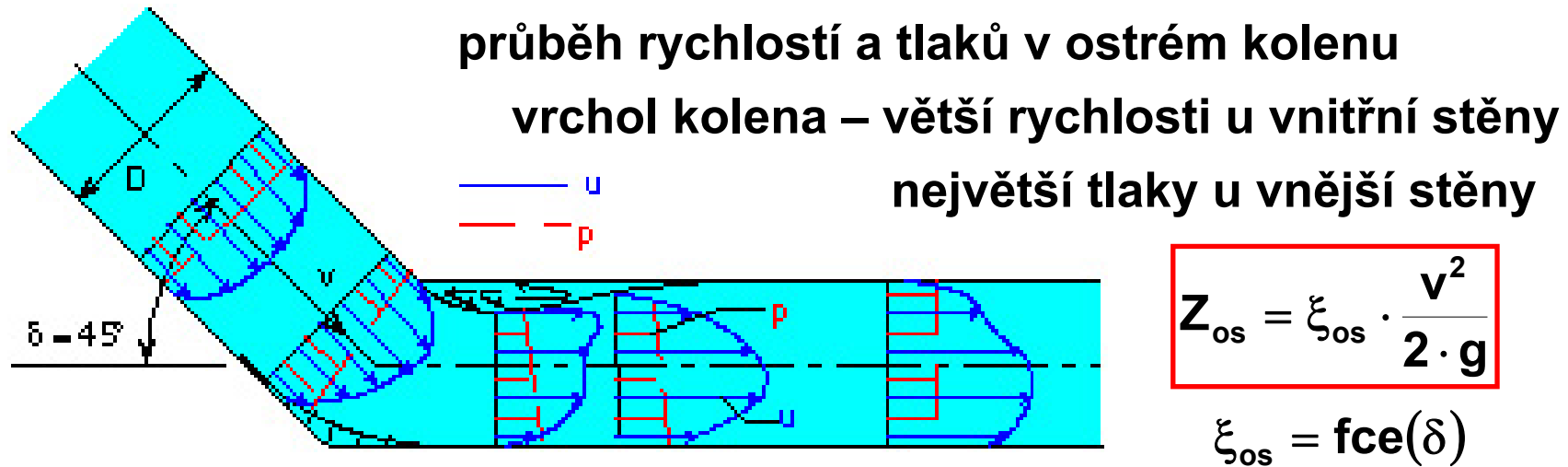
Místní ztráta na výtoku z potrubí do nádrže

$$Z_{vy} = \xi_{vy} \cdot \frac{v^2}{2 \cdot g} \quad \xi_{vy} = 1$$

v - rychlost proudění v potrubí před výtokem do nádrže

Místní ztráta změnou směru

- ostrá kolena

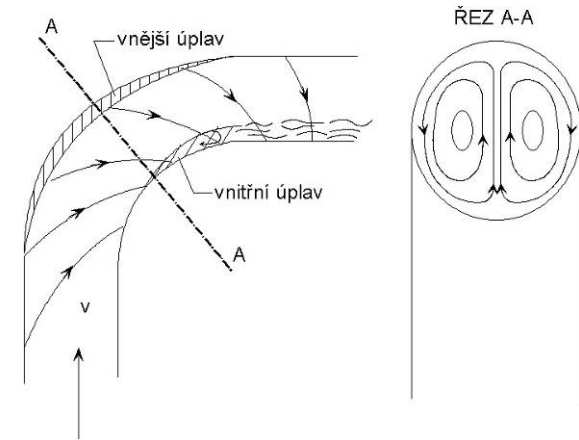


Tabulka – hodnoty součinitele místní ztráty ostrého kolena

δ	15	30	45	60	90
ξ_{os} – hladká potrubí	0.04	0.13	0.24	0.47	1.13
ξ_{os} – drsná potrubí	0.06	0.17	0.32	0.68	1.27

• **oblouková kolena**

$$Z_{os} = \xi_{os} \cdot \frac{v^2}{2 \cdot g} \quad \xi_{os} = fce\left(\delta; \frac{r_o}{D}\right)$$



charakter proudění v obloukové kolenu:

největší rychlosti u vnitřní stěny, největší tlaky u vnější stěny

úplavy - vnější u vrcholu oblouku, vnitřní na konci oblouku

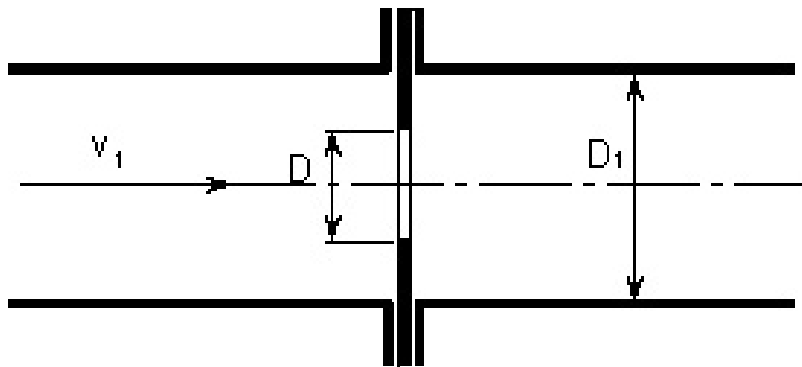
dvojitě spirálovité proudění

Tabulka – hodnoty součinitele místní ztráty čtvrtkruhového oblouku

r_o/D	1.0	1.5	2.0	4.0	6.0	10.0	20.0
ξ_{os} – hladká potrubí	0.21	0.17	0.15	0.11	0.09	0.07	0.05
ξ_{os} – drsná potrubí	0.42	0.34	0.30	0.22	0.18	0.14	0.10

Místní ztráty na objektech určených ke zjišťování („měření“) průtoku

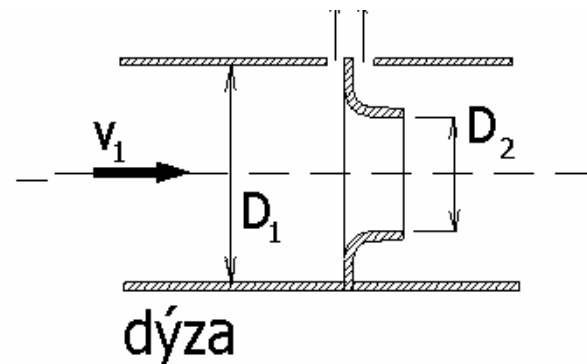
clona – do potrubí vložen tenký profil s průměrem D menším než průměr potrubí D_1



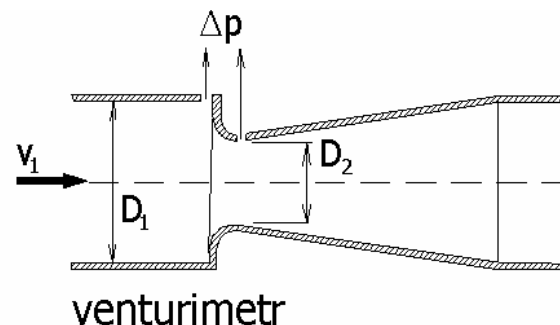
$$Z_{cl} = \xi_{cl} \cdot \frac{v^2}{2 \cdot g} = \xi_{cl} \cdot \frac{Q^2}{2 \cdot g \cdot S^2} = \frac{p_1 - p_2}{\rho \cdot g}$$

$$\xi_{cl} = fce \left(\frac{D}{D_1} \right)$$

dýza – výpočet ztráty obdobný jako u clony



venturimetr



princip funkce – do potrubí vložen objekt s obloukovým zúžením a kónickým rozšířením potrubí
- měření rozdílů tlaků mezi profily

aplikace rovnice Bernoulliho

$$h_1 + \frac{p_1}{\rho \cdot g} + \frac{\alpha \cdot v_1^2}{2 \cdot g} = h_2 + \frac{p_2}{\rho \cdot g} + \frac{\alpha \cdot v_2^2}{2 \cdot g} + \xi_{ve} \cdot \frac{v_2^2}{2 \cdot g}$$

pro vodorovné potrubí $h_1 = h_2$

$$v_1 = v_2 \cdot \frac{S_2}{S_1} = v_2 \cdot m$$

$$\frac{\Delta p}{\rho \cdot g} = \Delta H$$

$$2 \cdot g \cdot \Delta H = v_2^2 \cdot (\alpha \cdot (1 - m^2) + \xi_{ve})$$

$$v_2 = \frac{\sqrt{2 \cdot g \cdot \Delta H}}{\sqrt{\alpha \cdot (1 - m^2) + \xi_{ve}}}$$

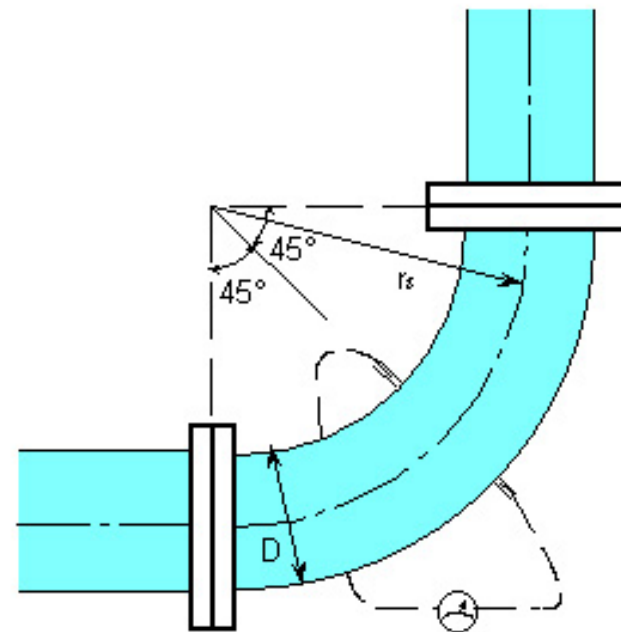
$$v_2 = \mu_v \cdot \sqrt{2 \cdot g \cdot \Delta H} \Rightarrow Q = v_2 \cdot S_2$$

kolenový průtokoměr – měření tlaků na vnějším a vnitřním oblouku kolena v jeho vrcholu

$$Q = fce \left(\frac{p_{vne} - p_{vni}}{\rho \cdot g}; \frac{r_o}{D} \right)$$

$$Q = c \cdot S \cdot \sqrt{\frac{r_o}{D} \cdot \frac{p_{vne} - p_{vni}}{\rho \cdot g}} = c \cdot S \cdot \sqrt{\frac{r_o}{D} \cdot \frac{\Delta p}{\rho \cdot g}}$$

součinitel $c \Leftrightarrow$ stanovený cejchováním



Místní ztráty na uzávěrech

uzávěry – slouží k zastavení nebo regulaci průtoku

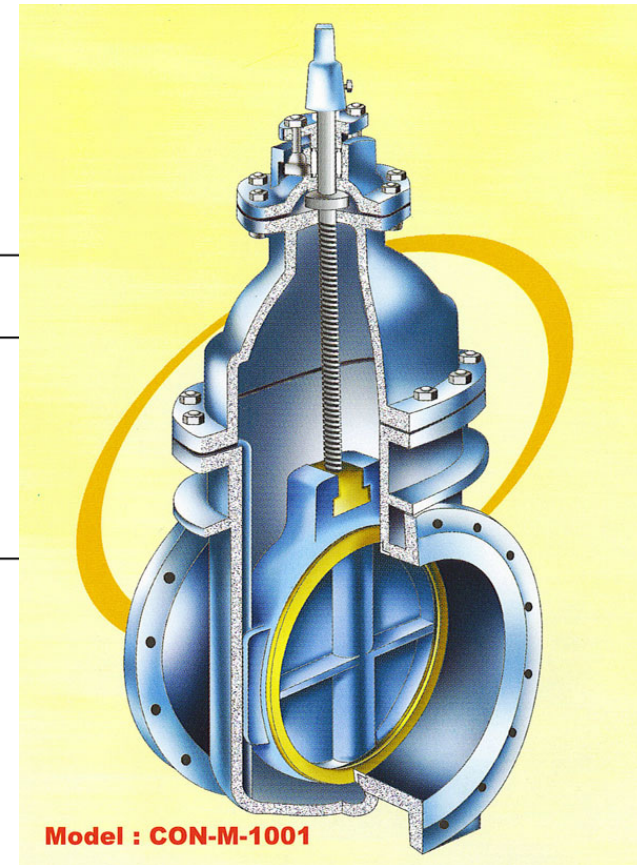
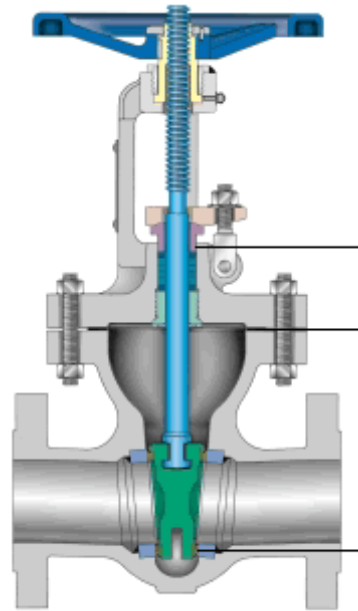
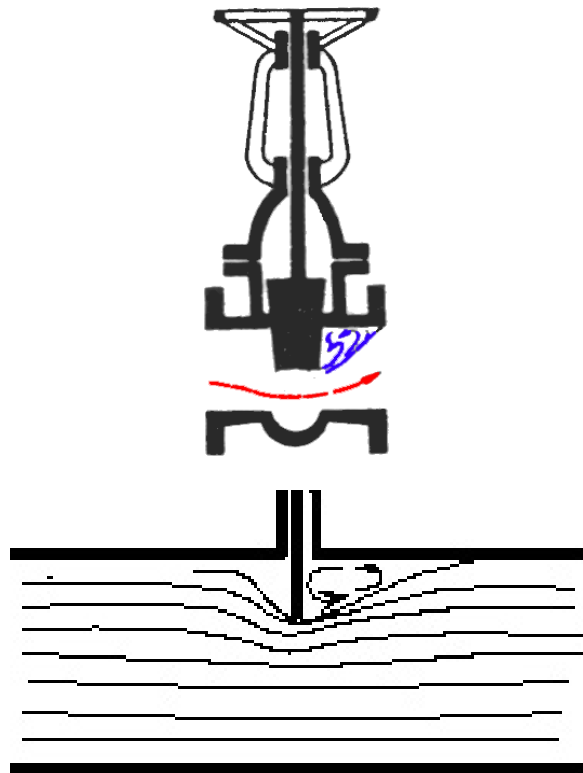
$$Z_{uz} = \xi_{uz} \cdot \frac{v^2}{2 \cdot g} \quad \xi_{uz} = \text{fce}(\text{konstrukční typ, velikost otevření})$$

!!! Pro některé typy $\xi_{uz} \neq 0$ i při plném otevření uzávěru!!!

základní konstrukční typy uzávěrů :

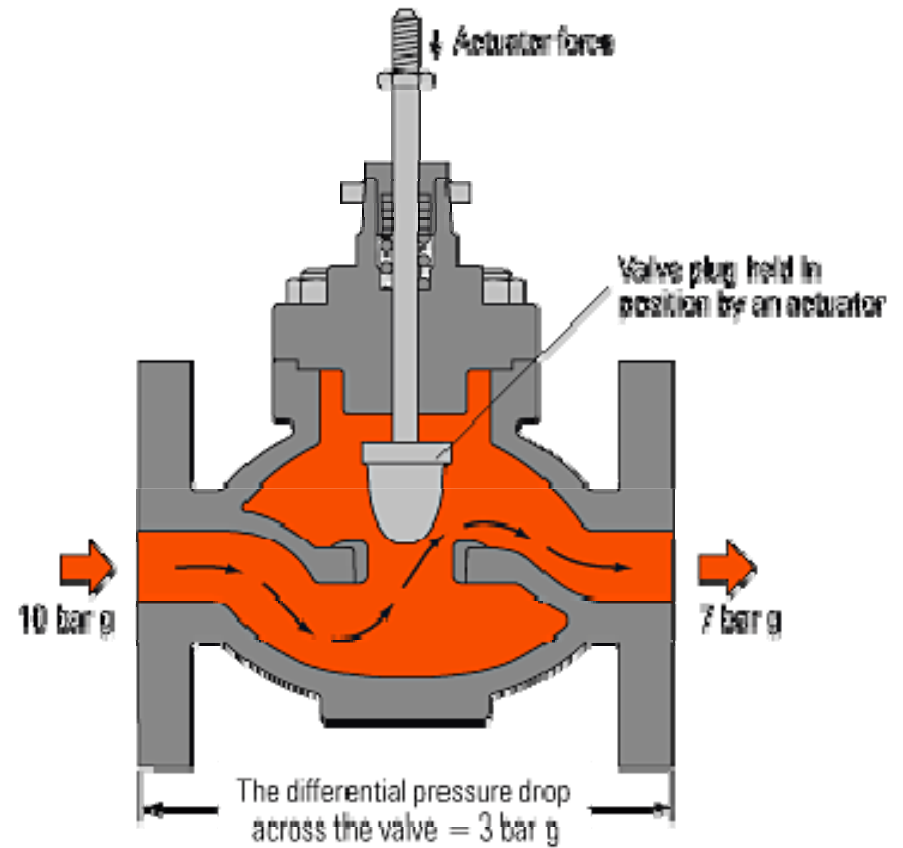
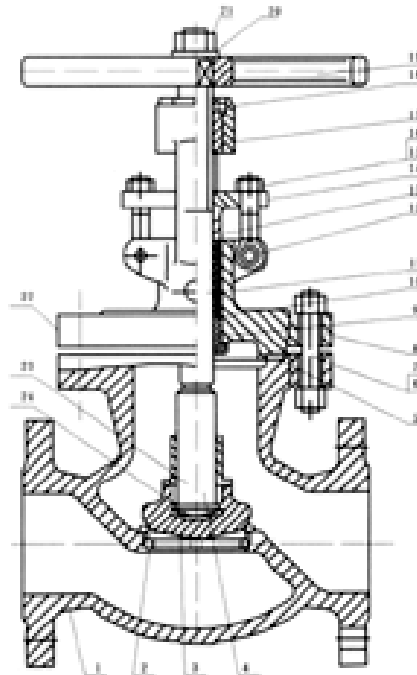
- šoupata
- ventily
- kohouty
- klapky
- jehlové uzávěry
- zpětné klapky

Šoupata



- princip funkce – plochý prvek zajíždí do drážky v potrubí kolmé na směr potrubí**
- prvek spojen s osičkou zakončenou šroubovým závitem ⇒ změna polohy**

Ventily



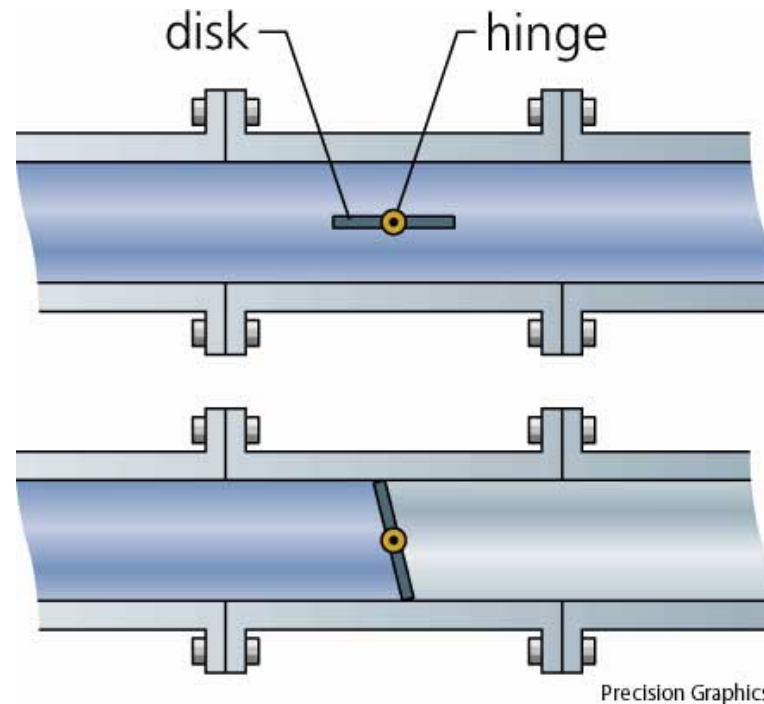
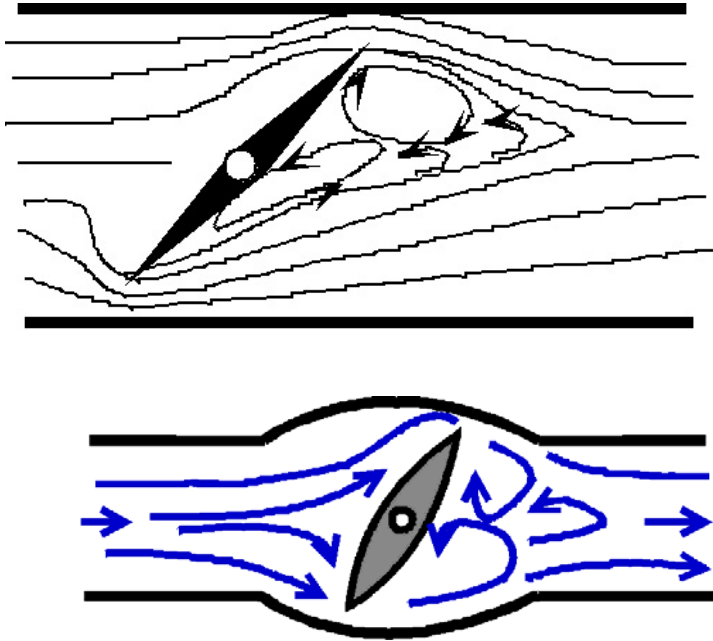
- princip funkce – lokální změna směru proudění v komoře ventilu z podélného na svislý**
- osově souměrný prvek dosedá na vodorovný kruhový otvor v komoře**
 - součinitel místní ztráty $\xi_{uz} \neq 0$ i při plném otevření**

Kohouty (kulové)



- princip funkce – v prostoru kohoutu kulová komora, v ní umístěn kulový prvek s válcovým otvorem**
- osa válce rovnoběžná s osou proudění \Rightarrow plné otevření kohoutu, regulace průtoku otáčením kolem osy kolmé na potrubí**

Klapky

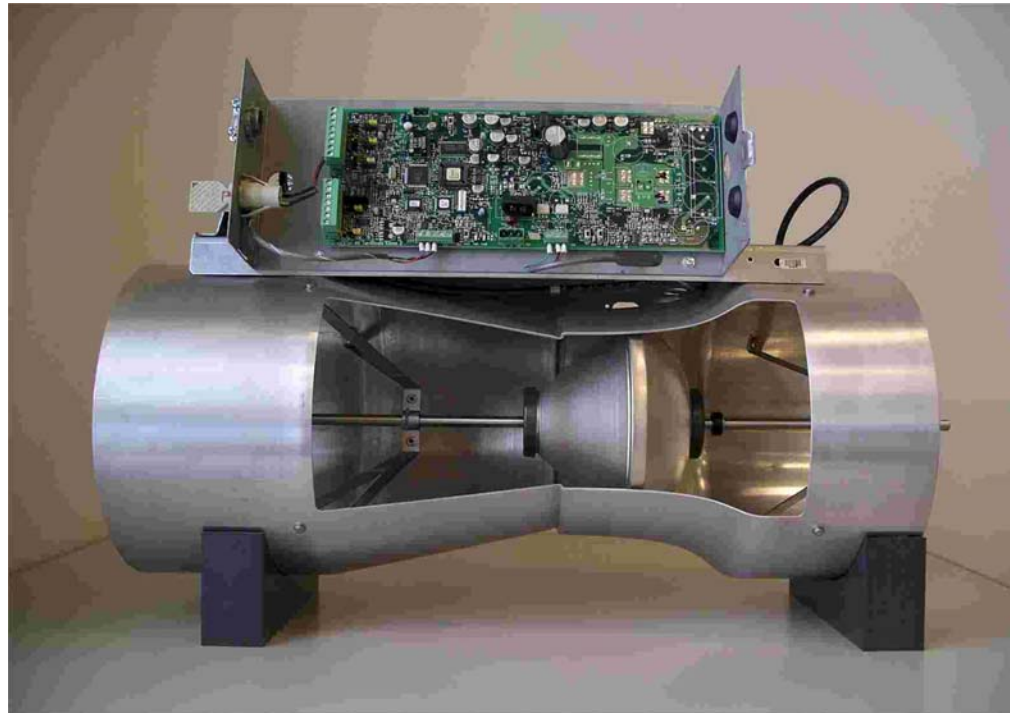


princip funkce:

- kruhový plochý (čočkový) prvek s osou otáčení kolmou na směr proudění
- uzávěr plně otevřený v případě rovnoběžné polohy čočky se směrem proudění

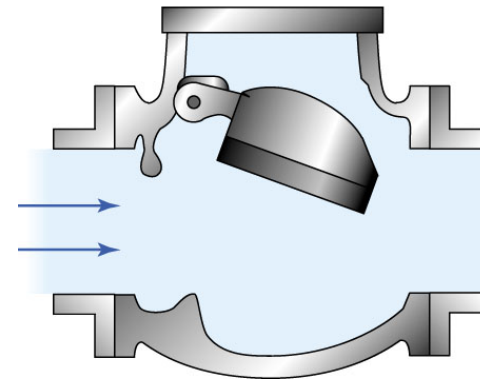
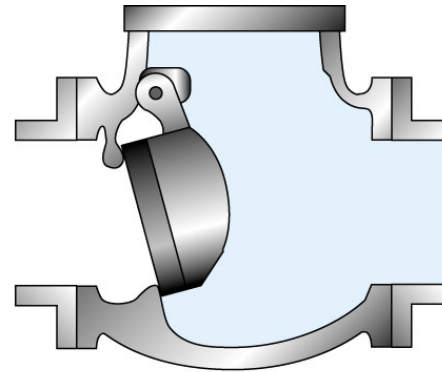


Jehlové uzávěry



- princip funkce – v místě uzávěru zúžený profil potrubí (kónické zúžení a následně rozšíření)**
- kuželové těleso s osou totožnou s osou potrubí, pohyb kužele ve směru osy, uzavření uzávěru**
↔ dosednutí kužele na zúžený profil

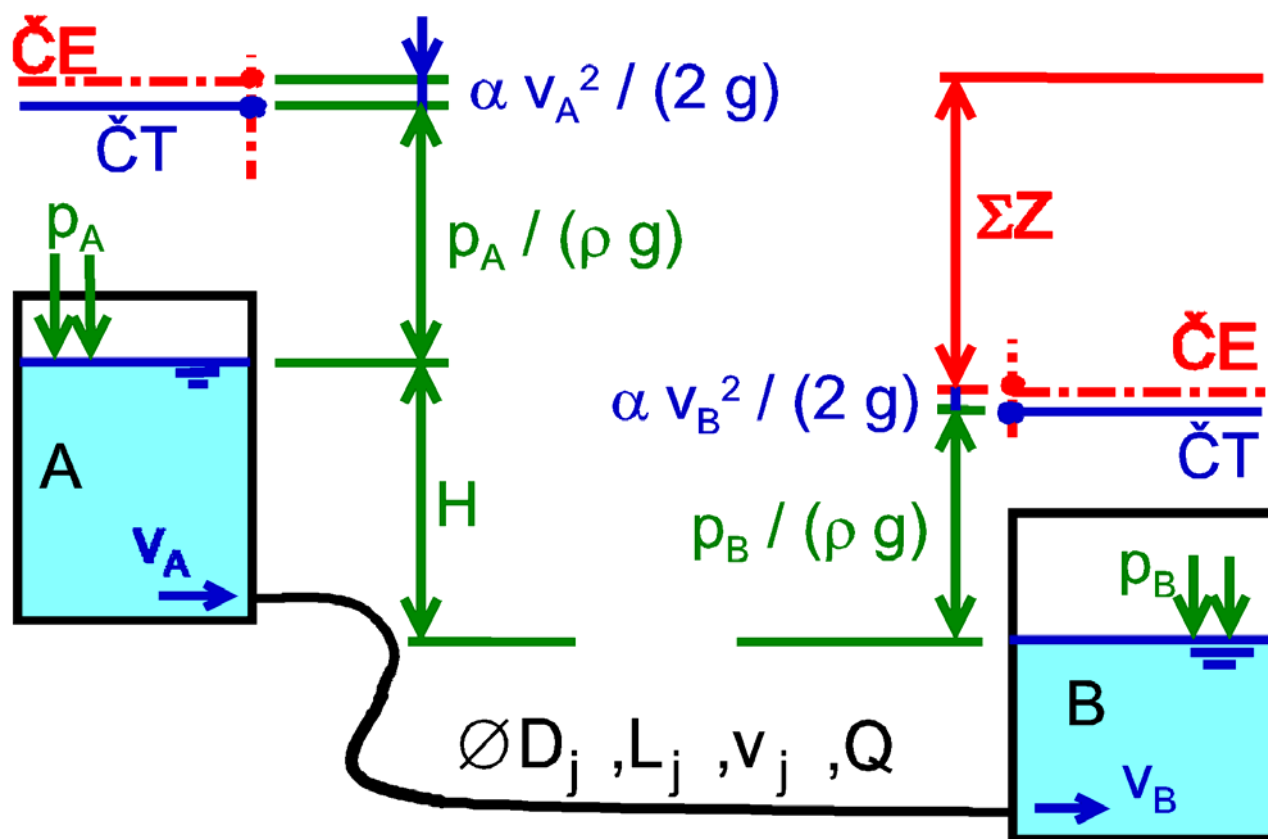
Zpětné klapky



princip funkce - zpětná klapka umožňuje proudění výhradně v jednom směru

- klapka s osou otáčení mimo osu potrubí, proud v jednom směru odklopí klapku z průtočného profilu, v druhém směru naopak uzavře profil**

Základní schéma výpočtu potrubí



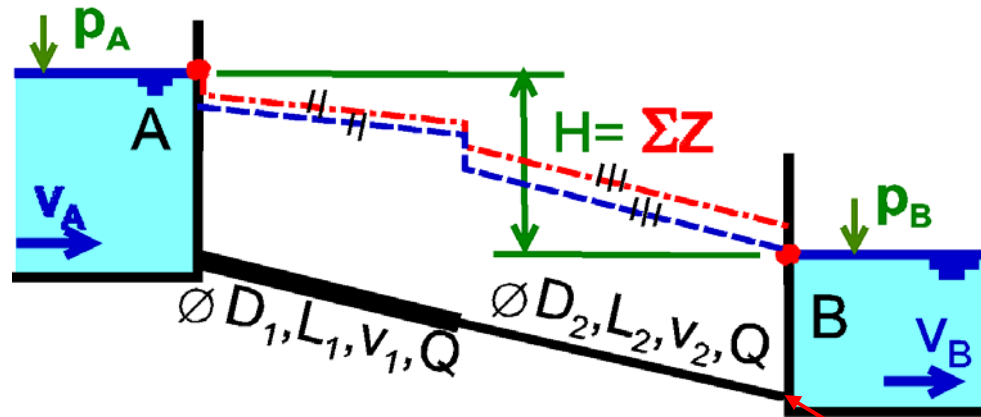
ČE ≠ ČT

RB:

$$H + \frac{p_A}{\rho \cdot g} + \frac{\alpha \cdot v_A^2}{2 \cdot g} = \frac{p_B}{\rho \cdot g} + \frac{\alpha \cdot v_B^2}{2 \cdot g} + \Sigma Z$$

$$Z_j = Z_{tj} + \Sigma Z_{mj} \quad \Sigma Z = \sum_j (Z_{tj} + \Sigma Z_{mj})$$

- otevřené a velké nádrže



!! výtoková ztráta !!

na hladině nádrží působí atmosférický tlak
zanedbatelné rychlosti proudění v nádržích

$$p_A = p_B = p_a$$

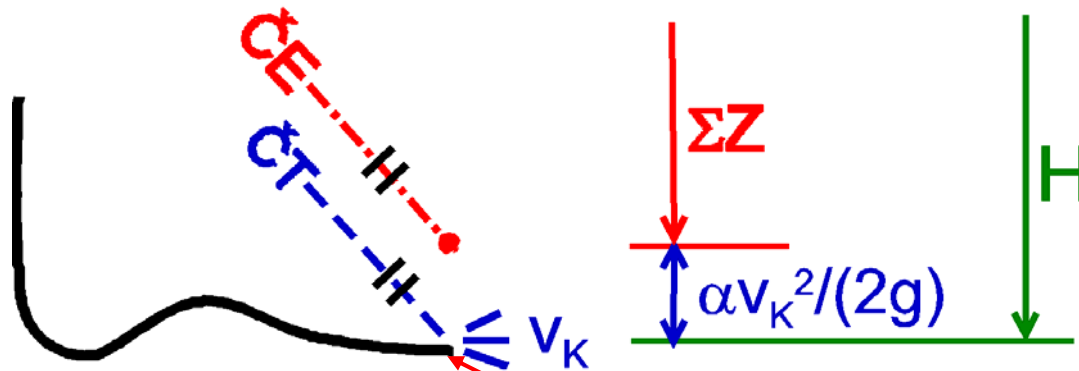
$$v_A \approx 0 \quad v_B \approx 0$$

$$\text{RB: } H + \frac{p_A}{\rho \cdot g} + \frac{\alpha \cdot v_A^2}{2 \cdot g} = \frac{p_B}{\rho \cdot g} + \frac{\alpha \cdot v_B^2}{2 \cdot g} + \Sigma Z$$

⇒

$$H = \Sigma Z$$

• výtok z potrubí do volna



!! není výtoková ztráta !!

na hladinu nádrže před vtokem i na výtokový paprsek působí atmosférický tlak

$$p_A = p_V = p_a$$

zanedbatelná rychlost proudění v nádrži A před vtokem

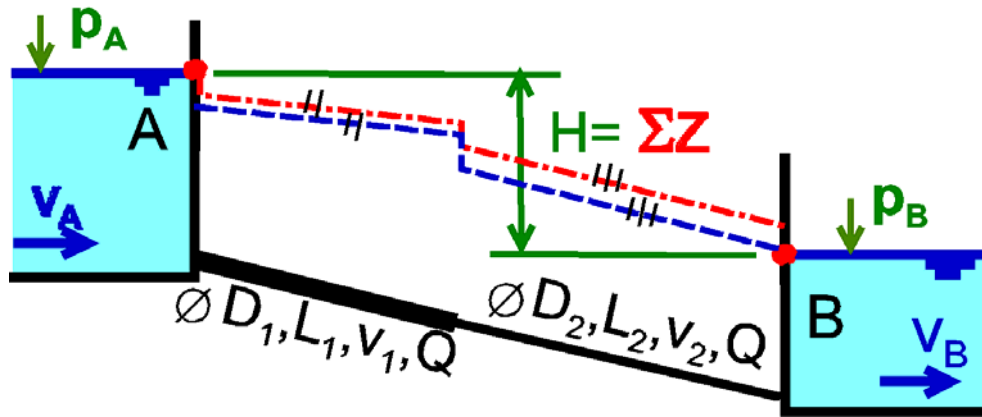
$$v_A \approx 0$$

nezanedbatelná rychlost proudění výtokového paprsku

$$v_V \neq 0$$

$$\text{RB: } H + \frac{p_A}{\rho \cdot g} + \frac{\alpha \cdot v_A^2}{2 \cdot g} = \frac{p_V}{\rho \cdot g} + \frac{\alpha \cdot v_V^2}{2 \cdot g} + \Sigma Z \quad \Rightarrow \quad H = \frac{\alpha \cdot v_V^2}{2 \cdot g} + \Sigma Z$$

• výpočet sériového potrubí



RK : obecně pro n úseků

$$v_1 = \frac{Q}{S_1} \quad v_2 = \frac{Q}{S_2} \quad \dots \quad v_n = \frac{Q}{S_n}$$

úsek 1: $\varnothing D_1, L_1, Q, v_1 \Rightarrow$

$$Z_1 = Z_{t1} + \sum_{i=1}^k Z_{m1i} = \lambda_1 \cdot \frac{L_1}{D_1} \cdot \frac{v_1^2}{2 \cdot g} + \left(\sum_{i=1}^k \xi_{1i} \right) \cdot \frac{v_1^2}{2 \cdot g} =$$

$$= \left(\lambda_1 \cdot \frac{L_1}{D_1} + \sum_{i=1}^k \xi_{1i} \right) \cdot \frac{Q^2}{2 \cdot g \cdot S_1^2} = \left(\lambda_1 \cdot \frac{L_1}{D_1} + \sum_{i=1}^k \xi_{1i} \right) \cdot \frac{8 \cdot Q^2}{g \cdot \pi^2 \cdot D_1^4}$$

$$\Sigma Z = \sum_{j=1}^n Z_j = \sum_{j=1}^n (Z_{tj} + \Sigma Z_{mj}) = Q^2 \cdot \frac{8}{g \cdot \pi^2} \cdot \sum_{j=1}^n \frac{1}{D_j^4} \cdot \left(\lambda_j \cdot \frac{L_j}{D_j} + \sum_{i=1}^k \xi_{ji} \right)$$

Různé scénáře výpočtu potrubí:

- známé potrubí (L_j , D_j , Δ_j), známý rozdíl hladin $H = \sum Z$ mezi nádržemi
 $\Rightarrow Q = ?$

$Q = ? \Rightarrow v = ? \Rightarrow Re = ? \Rightarrow$ oblast proudění ? $\Rightarrow \lambda = ?$

postup výpočtu :

1. předpoklad proudění v kvadratické oblasti ztrát ve všech úsecích

\Rightarrow odhad $\lambda' = fce\left(\frac{\Delta}{D}\right)$

2. řešení Bernoulliho rovnice $H = \sum Z = fce(Q'^2) \Rightarrow Q'$

3. $Q' \Rightarrow v' \Rightarrow Re'$

4. **posouzení předpokladu ve všech úsecích**

- splnění předpokladu ve všech úsecích $\Rightarrow Q = Q' \Leftrightarrow$ konec výpočtu
- nesplnění předpokladu v některém z úseků \Rightarrow iterační postup

5. $Re'' \Rightarrow$ zpřesnění odhadu $\lambda'' = fce\left(Re'; \frac{\Delta}{D}\right)$

opakované řešení Bernoulliho rovnice $\Rightarrow Q''$

- $Q'' \approx Q' \Rightarrow Q=Q'' \Leftrightarrow$ konec výpočtu

- $Q'' \neq Q' \Rightarrow v'' \Rightarrow Re'' \Rightarrow \lambda''' \Rightarrow BR \Rightarrow Q'''$

opakování postupu až je dosaženo dostatečné shody mezi
2 kroky iteračního postupu

aplikace v praxi :

výpočet kapacity potrubí při proudění

- známé potrubí (L_j , D_j , Δ_j), známý průtok $Q \Rightarrow \Sigma Z = ?$

$$Q \Rightarrow v \Rightarrow Re \Rightarrow \lambda = fce\left(Re; \frac{\Delta}{D}\right)$$

postup výpočtu

řešení Bernoulliho rovnice : $\Sigma Z = fce(Q^2)$

řešení bez iteračního postupu

aplikace v praxi

posouzení tlakových poměrů na provozovaném potrubí

- známý průtok Q , požadované tlakové poměry $\Rightarrow \Sigma Z \approx H$
 návrh potrubí $\Leftrightarrow D_j, L_j, \Delta_j$

postup výpočtu

$$Q, D \Rightarrow v \Rightarrow Re \Rightarrow \lambda = fce\left(Re; \frac{\Delta}{D}\right)$$

aplikace Bernoulliho rovnice : $\Sigma Z' = fce(Q^2)$

řešení bez iteračního postupu

návrh potrubí splňuje hydraulické požadavky pro $\Sigma Z' < \Sigma Z$
 pro $\Sigma Z' \ll \Sigma Z$ návrh není ekonomický – zbytečně velké $D \Rightarrow$
 posouzení jiného návrhu s menšími D

Aplikace v praxi :

návrh vodovodního potrubí pro zásobování pitnou vodou, ...

Posouzení tlakových poměrů ve vybraných profilech potrubí

základní přístupy řešení

- v absolutních tlacích

přetlak v potrubí $\frac{p}{\rho \cdot g} > 10 \text{ m v.s.}$ podtlak v potrubí $\frac{p}{\rho \cdot g} < 10 \text{ m v.s.}$

teoretické minimum (vakuum) $\frac{p_{\min}}{\rho \cdot g} = 0 \text{ m v.s.}$

požadované minimum $\frac{p}{\rho \cdot g} > 2 \div 4 \text{ m v.s.}$

při nesplnění \Leftrightarrow přerušlení vodního sloupce, kavitace

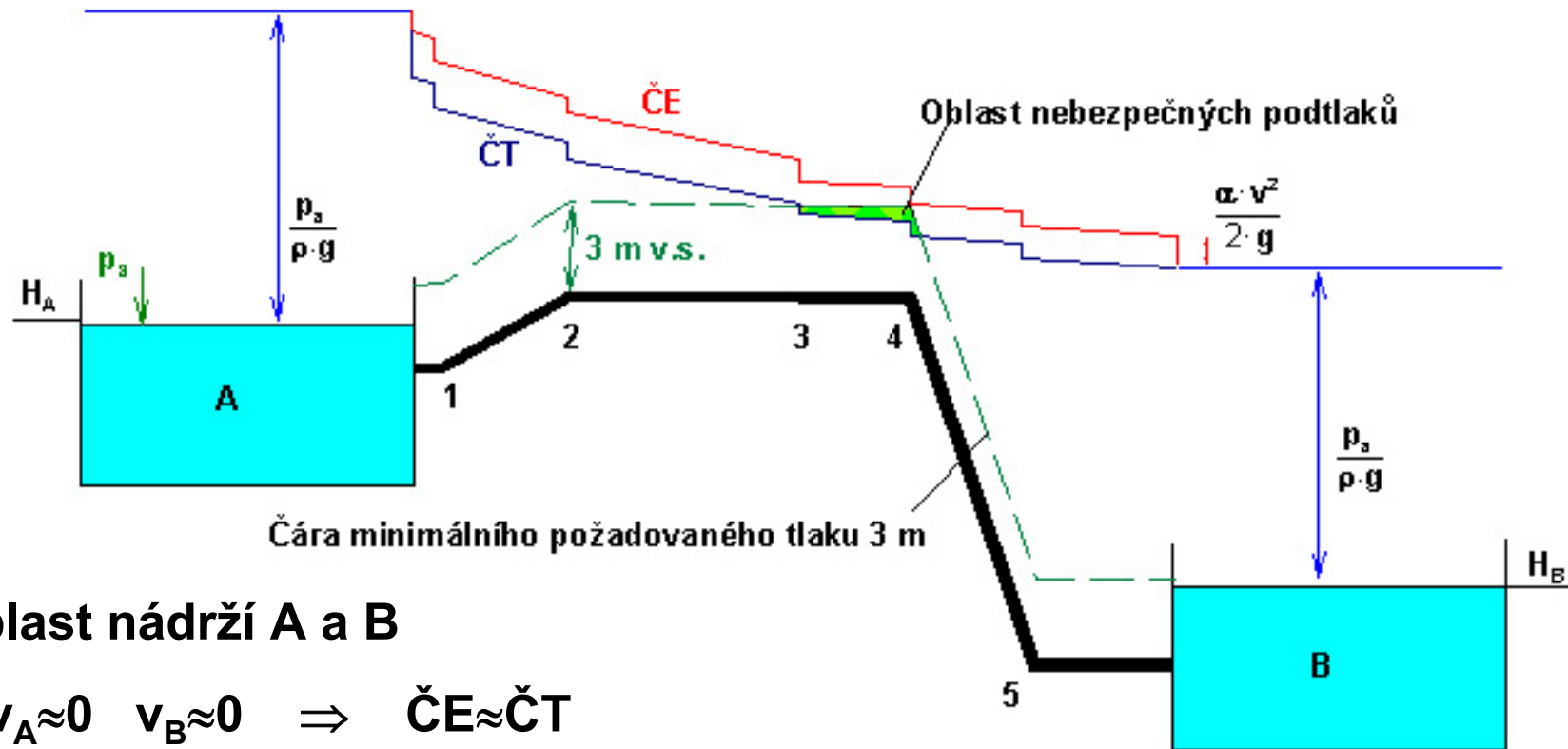
- v relativních tlacích

přetlak $\frac{p_p}{\rho \cdot g} > 0 \text{ m v.s.}$ podtlak $\frac{p_{va}}{\rho \cdot g} < 0 \text{ m v.s.}$

požadované
minimum

$\frac{p_{vamin}}{\rho \cdot g} \approx -6 \div -8 \text{ m v.s.}$

Posouzení tlakových poměrů v absolutních tlacích



oblast nádrží A a B

$$v_A \approx 0 \quad v_B \approx 0 \quad \Rightarrow \quad \text{ČE} \approx \text{ČT}$$

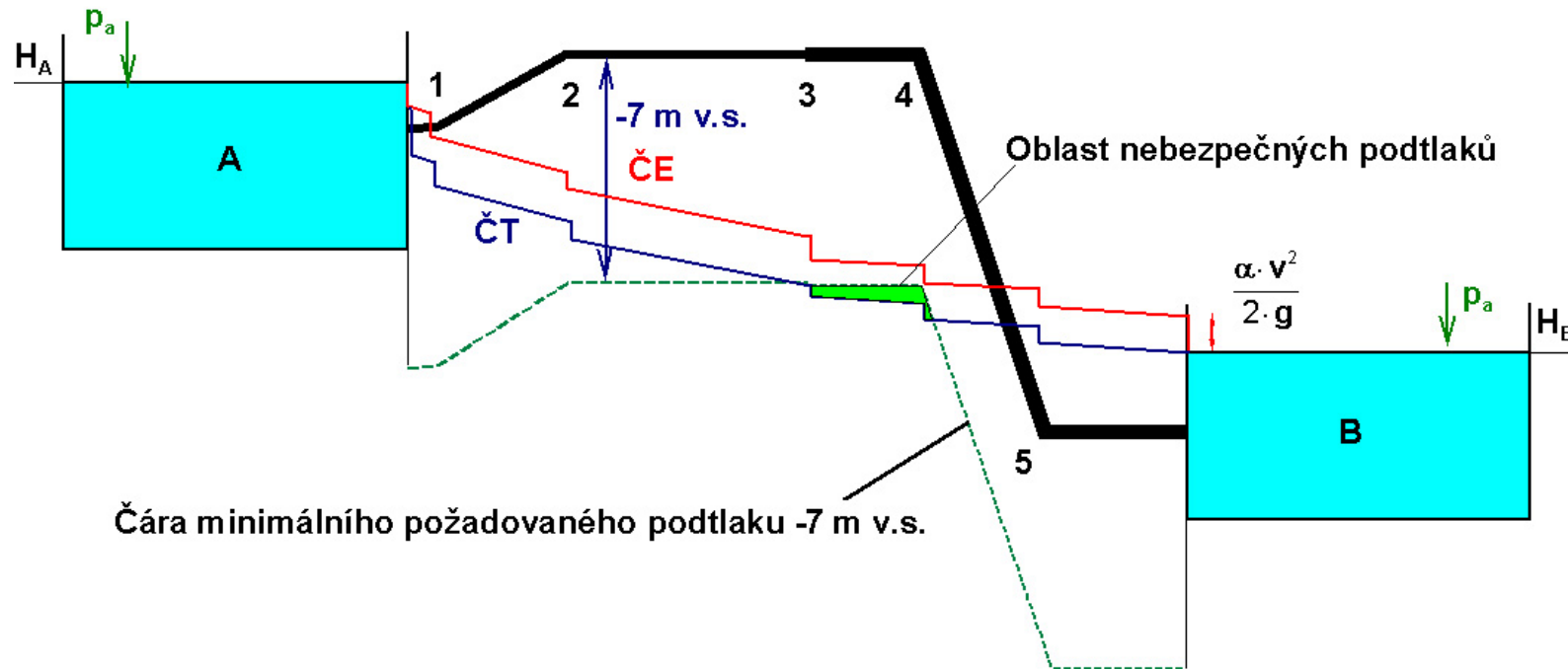
určení absolutního tlaku v profilu 2 – řešení Bernoulliho rovnice

$$H_A + \frac{p_a}{\rho \cdot g} = H_2 + \frac{p_2}{\rho \cdot g} + \frac{\alpha \cdot v_2^2}{2 \cdot g} + \sum Z_{A2} \Rightarrow \frac{p_2}{\rho \cdot g} = H_A - H_2 + \frac{p_a}{\rho \cdot g} - \frac{\alpha \cdot v_2^2}{2 \cdot g} - \sum Z_{A2}$$

nebezpečné profily

$$\frac{p_i}{\rho \cdot g} < (2 \div 4) \text{ m v.s.}$$

Posouzení tlakových poměrů v relativních tlacích



oblast nádrží A a B $v_A \approx 0$ $v_B \approx 0 \Rightarrow \check{C}E \approx \check{C}T$

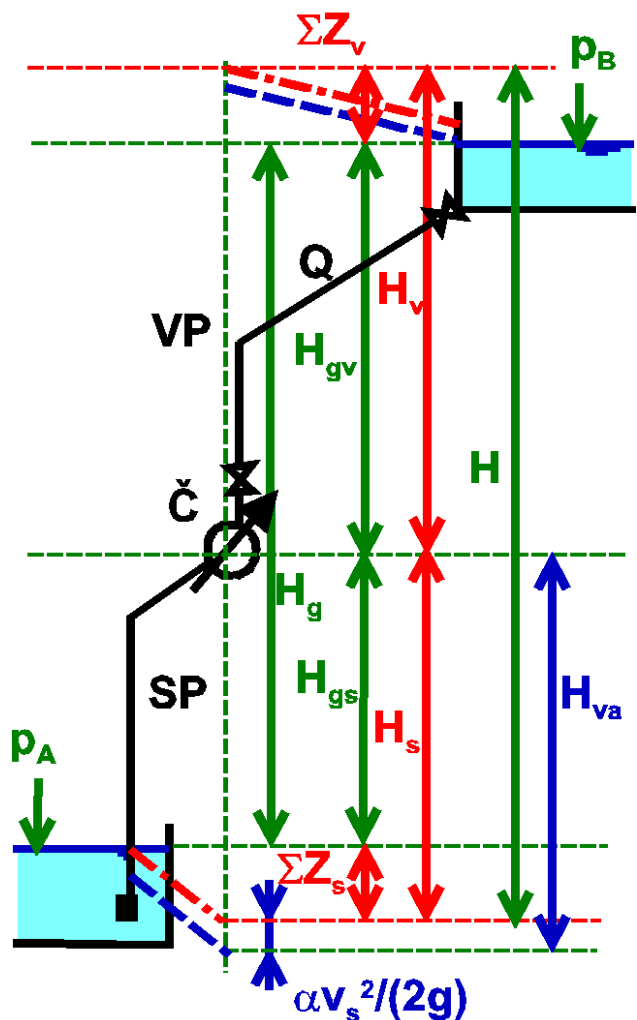
určení podtlaku v profilu 4 – řešení Bernoulliho rovnice

$$H_A = H_4 + \frac{p_{va4}}{\rho \cdot g} + \frac{\alpha \cdot v_4^2}{2 \cdot g} + \sum Z_{A4} \Rightarrow \frac{p_{va4}}{\rho \cdot g} = H_A - H_4 - \frac{\alpha \cdot v_4^2}{2 \cdot g} - \sum Z_{A4}$$

nebezpečné profily

$$\frac{p_{vai}}{\rho \cdot g} < (-6 \div -8) \text{ m v.s.}$$

SOUSTAVA POTRUBÍ - ČERPADLO



Geodetický spád:

$$H_g = H_{gs} + H_{gv}$$

H_g – celkový geodetický spád

H_{gs} – geodetická sací výška

H_{gv} – geodetická výtlačná výška

Dopravní výška:

$$H = H_s + H_v = (H_{gs} + \Sigma Z_s) + (H_{gv} + \Sigma Z_v)$$

ΣZ_s : tření, sací koš, zpětná klapka, koleno, oblouky vždy jako krátké potrubí

ΣZ_v : tření, uzávěry, ... krátké nebo dlouhé

$$H = H_g + \Sigma Z_s + \Sigma Z_v = H_g + \Sigma Z$$

Posouzení vakuometrické výšky:

$$H_{va} = \frac{p_{va}}{\rho \cdot g} = H_{gs} + \Sigma Z_s + \frac{\alpha \cdot v_s^2}{2 \cdot g}$$

orientačně $H_{va} < (6 \div 8) \text{ m v. sl.}$

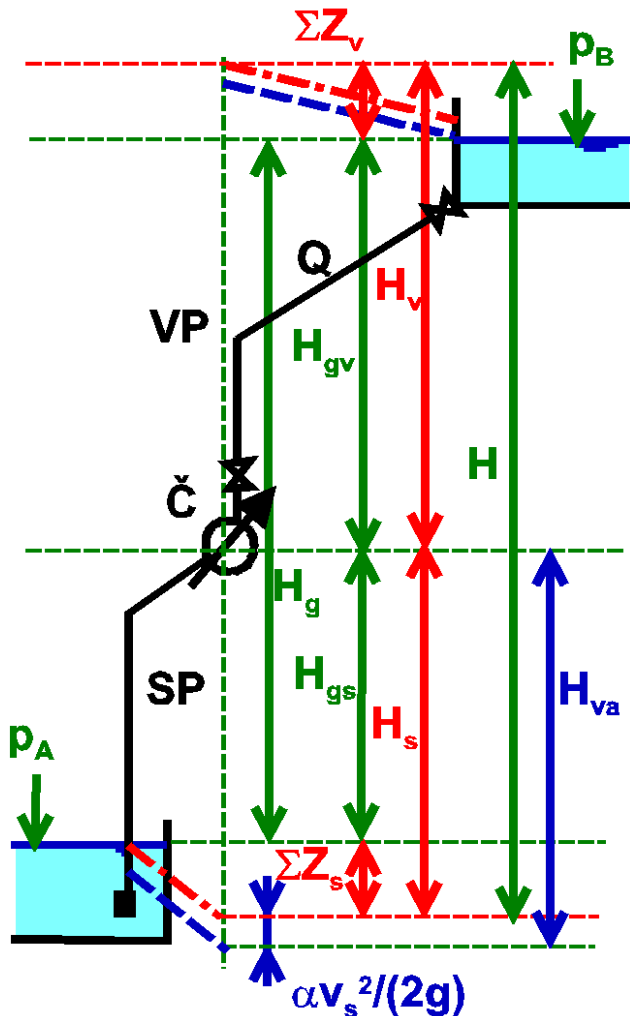
absolutní tlak na vstupu do čerpadla

$$\frac{p_{\check{c}}}{\rho \cdot g} = \frac{p_a}{\rho \cdot g} - H_{gs} - \Sigma Z_s - \frac{\alpha \cdot v_s^2}{2 \cdot g}$$

měrná energie č. : $Y = g \cdot H \text{ [J} \cdot \text{kg}^{-1}\text{]}$

$$\Delta Y = \frac{p_{\check{c}}}{\rho} + \frac{\alpha \cdot v_{\check{c}}^2}{2} - \frac{p_{np}}{\rho} \geq \Delta Y_{\check{c}}$$

ΔY → kavitační rezerva min. kav. rez. č.
 p_{np} ... tlak nasycených vodních par pro T°



Jmenovité charakteristiky čerpadla:

$$Q_n, H_n, Y_n, \eta_n, \Delta y_{\text{čn}}, P_n$$

Příkon:

$$P = \frac{\rho \cdot g \cdot Q \cdot H}{\eta} = \frac{\rho \cdot g \cdot Y}{\eta} \quad [\text{W}]$$

$$\eta_n = \eta_{\text{max}}$$

Účinnost:

$$\eta = \eta_{\text{č}} \cdot \eta_m$$

$$(\eta_{\text{č}} \sim 0,3 \div 0,9)$$

charakteristika potrubí

$$H = H_g + \sum Z = H_g + Q^2 \cdot \frac{8}{g \cdot \pi^2} \cdot \sum_{j=1}^n \frac{1}{D_j^4} \cdot \left(\lambda_j \cdot \frac{L_j}{D_j} + \sum_{i=1}^k \xi_{ji} \right) \quad \begin{array}{l} H \text{ roste s } Q \\ \approx \text{ parabola} \end{array}$$

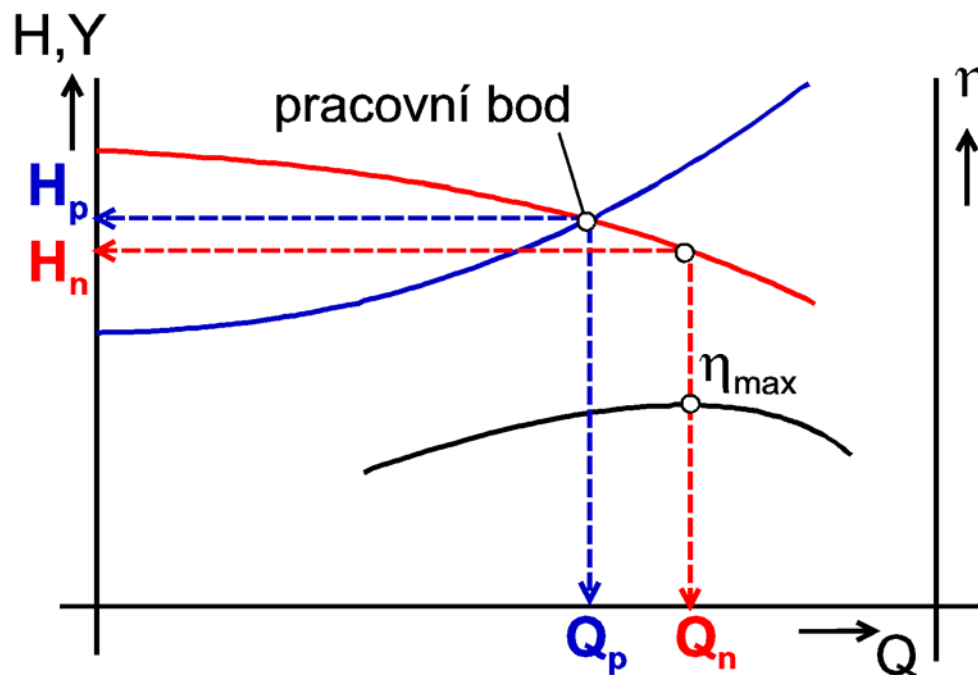
hlavní charakteristika čerpadla

$H=f_{\text{ce}}(Q) \Leftrightarrow H$ klesá s Q – hodnoty dány výrobcem

účinnost

$\eta=f_{\text{ce}}(Q) \Leftrightarrow \eta$ s růstem Q nejprve roste, od η_{max} klesá
hodnoty účinnosti v závislosti na Q dány výrobcem

Pracovní bod soustavy potrubí - čerpadlo:



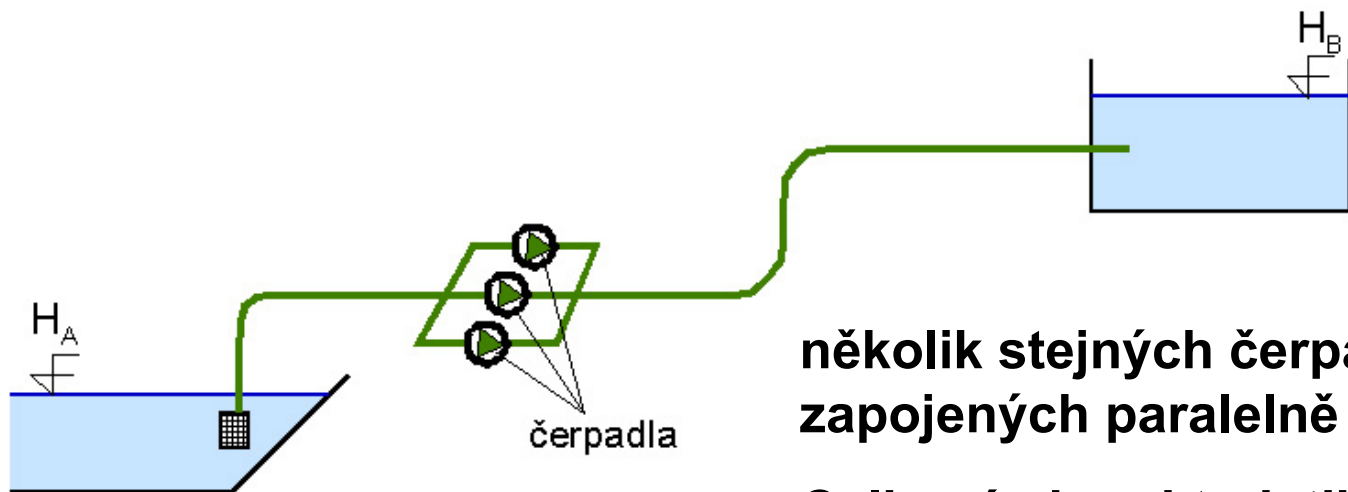
charakteristika potrubí

hlavní charakteristika čerpadla

účinnost

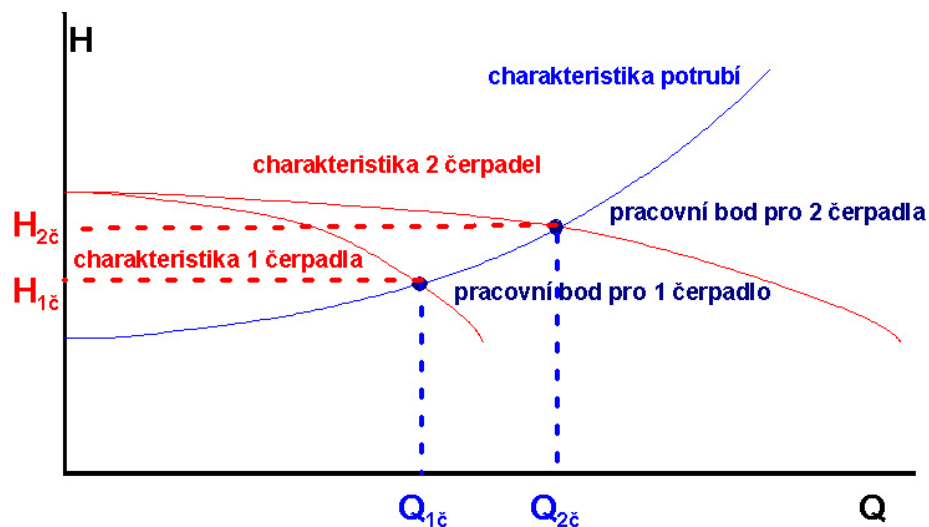
optimálně $Q_p = Q_n$

Řešení soustavy čerpadel zapojených paralelně



několik stejných čerpadel
zapojených paralelně

Celková charakteristika
čerpadel \Rightarrow sčítání pořadnic Q



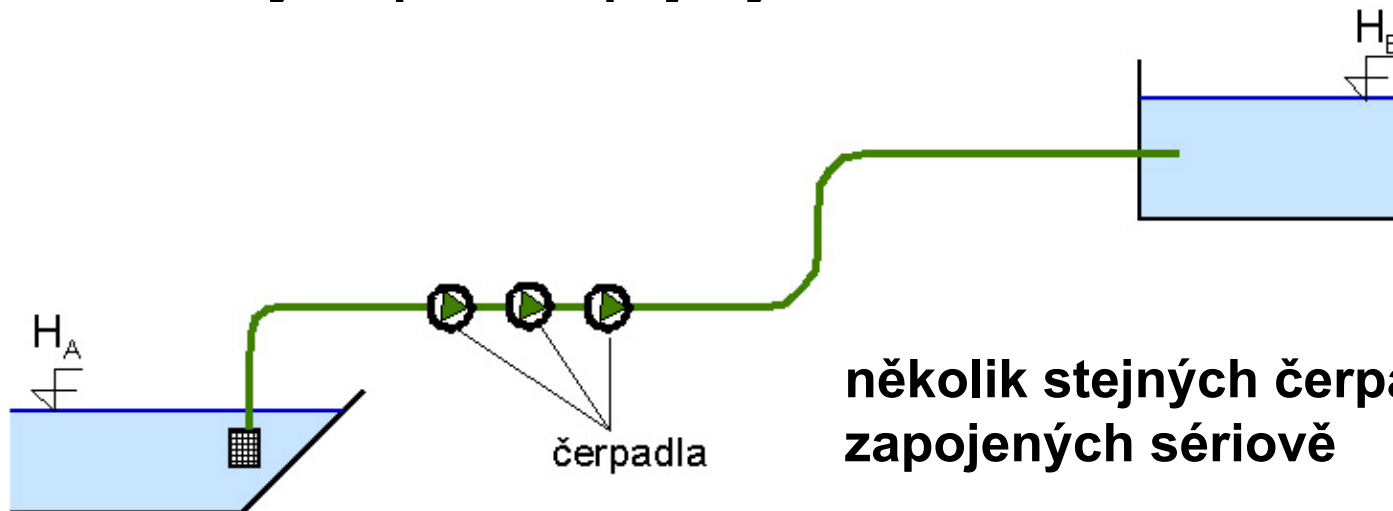
pracovní bod pro 1 čerpadlo

$$Q_{1\check{c}} - H_{1\check{c}}$$

pracovní bod pro 2 čerpadla

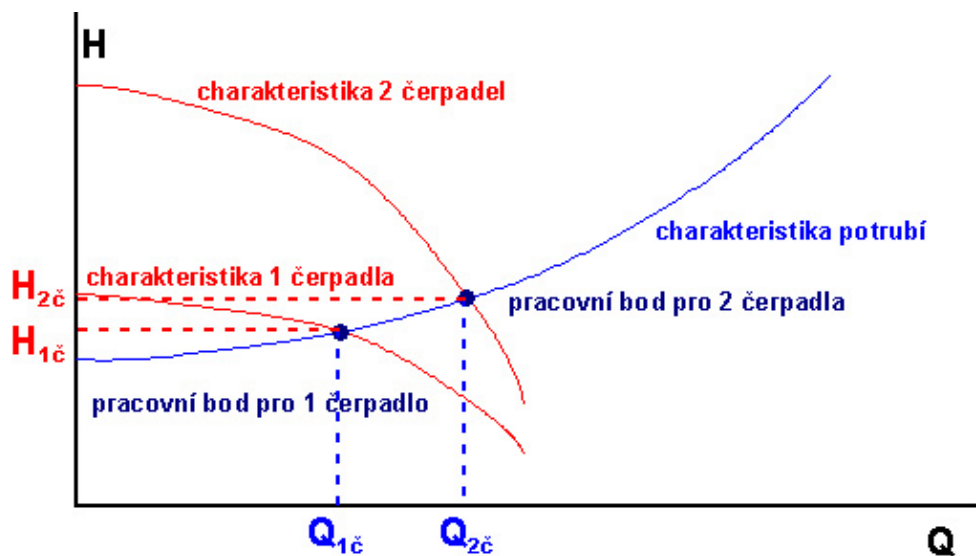
$$Q_{2\check{c}} < 2 \cdot Q_{1\check{c}}$$

Řešení soustavy čerpadel zapojených sériově



několik stejných čerpadel
zapojených sériově

Celková charakteristika
čerpadel \Rightarrow sčítání pořadnic H



pracovní bod pro 1 čerpadlo

$$Q_{1č} - H_{1č}$$

pracovní bod pro 2 čerpadla

$$H_{2č} < 2 \cdot H_{1č}$$

TRUBNÍ SÍTĚ

druhy trubních sítí

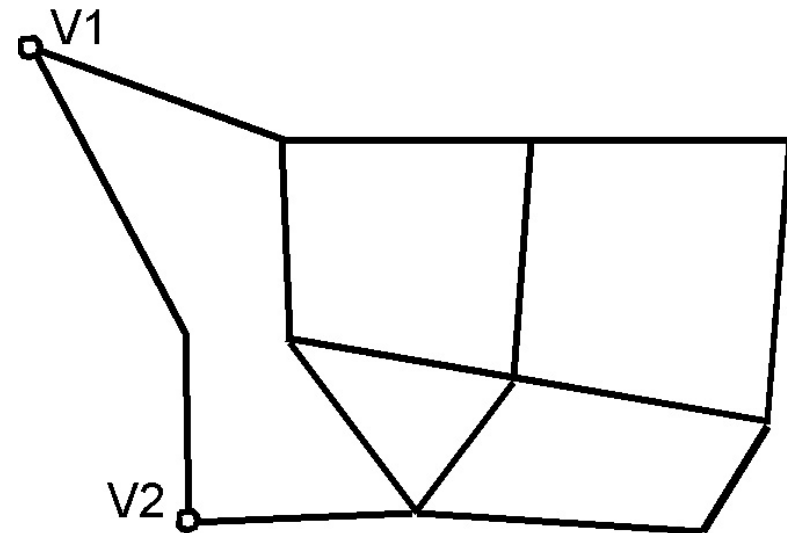
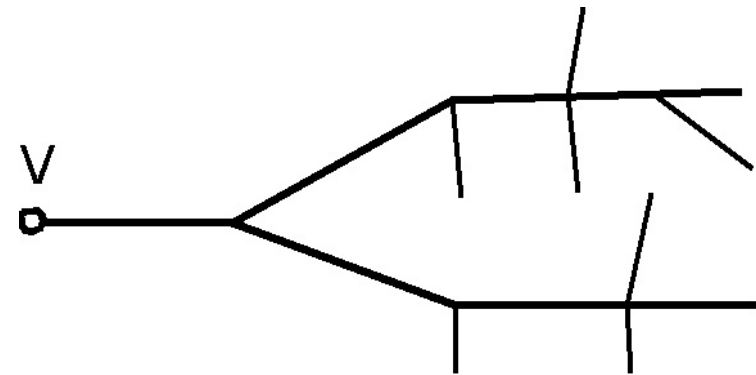
- větvivé
- okruhové
- kombinované

počet akumulčních nádrží

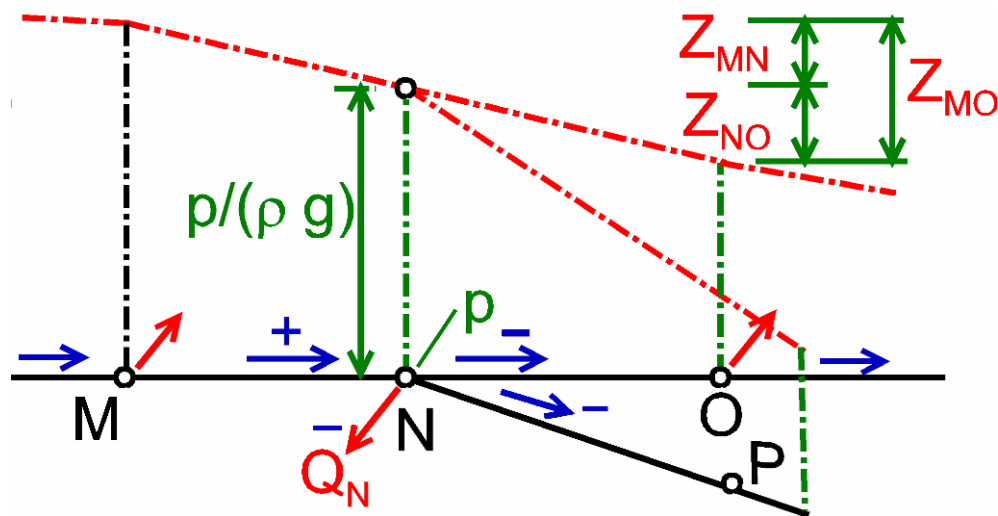
- s 1 vodojemem
- s více vodojemy

druhy odběru vody

- bodový
- rovnoměrný odběr po délce



Podstata hydraulického výpočtu



$$Z_{MO} = Z_{MN} + Z_{NO}$$

$$Q_{MN} - Q_{NO} - Q_{NP} - Q_N = 0$$

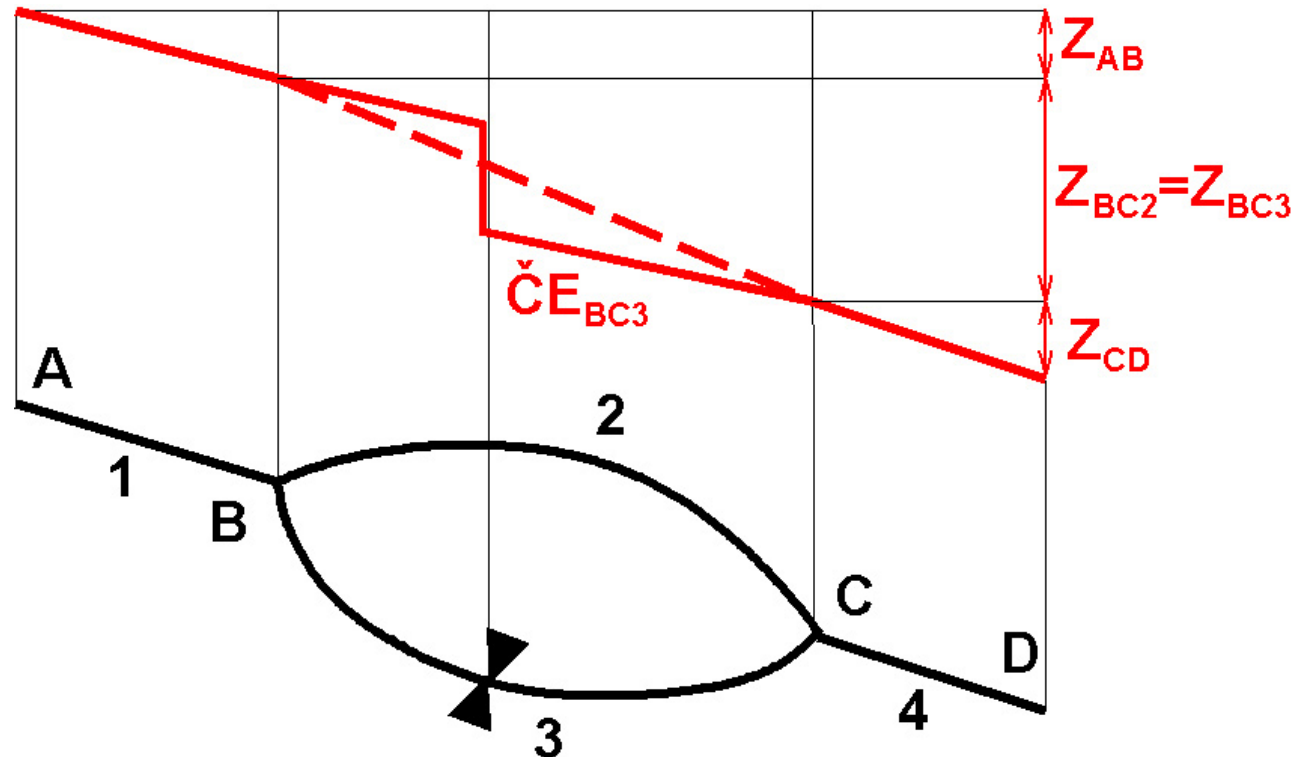
Rovnice kontinuity \Leftrightarrow průtoková (uzlová) podmínka $\sum Q_i = 0$

Rovnice Bernoulliho \Leftrightarrow ztrátová podmínka

v uzlu je jeden tlak \Rightarrow jedna kóta **ČE**

Schematizace sítě – odběry Q_i v uzlech

Výpočet paralelního potrubí



rovnice kontinuity $\sum Q_B = 0, \sum Q_C = 0 \Rightarrow Q_{AB} = Q_{BC2} + Q_{BC3} = Q_{CD} = Q$

rovnice Bernoulliho $Z_{AD} = Z_{AB} + Z_{BC2} + Z_{CD} = Z_{AB} + Z_{BC3} + Z_{CD} \Rightarrow Z_{BC2} = Z_{BC3}$

$$Z_{AB} = f_{ce}(Q^2) \quad Z_{BC2} = f_{ce}(Q_{BC2}^2) \quad Z_{BC3} = f_{ce}(Q_{BC3}^2) \quad Z_{CD} = f_{ce}(Q^2)$$

Způsoby řešení

základní rovnice

- $Z_{AD} = Z_{AB} + Z_{BC2} + Z_{CD} = fce(Q^2, Q_{BC2}^2)$
 - $Z_{AD} = Z_{AB} + Z_{BC3} + Z_{CD} = fce(Q^2, (Q - Q_{BC2})^2)$
 - nebo $Z_{BC2} = fce(Q_{BC2}^2) = Z_{BC3} = fce(Q - Q_{BC2})^2$
- } soustava 2 rovnic o 2 neznámých

řešení :

- exaktní řešení soustavy rovnic
- iterační postup – zpřesňování volby neznámých až platí základní rovnice – například :

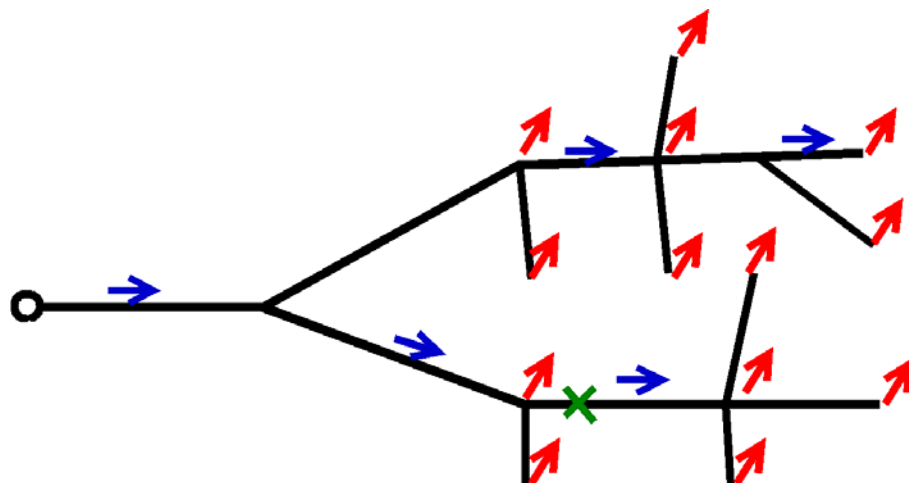
odhad průtoku $Q_{BC2}' \Rightarrow Z_{BC2}' = Z_{BC3}' \Rightarrow Q_{BC3}' \Rightarrow Q'$

předpoklad $\frac{Q'_{BC2}}{Q'} = \frac{Q_{BC2}}{Q}, \frac{Q'_{BC3}}{Q'} = \frac{Q_{BC3}}{Q} \Rightarrow Q_{BC2} = Q \cdot \frac{Q'_{BC2}}{Q'}, Q_{BC3} =$

kontrola správnosti $Q, Q_{BC2}, Q_{BC3} \Rightarrow \Delta H = Z_{AD}, Z_{BC2} = Z_{BC3}$

v případě nesplnění opakování výpočtu

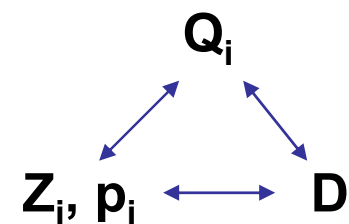
Větevná síť



+ jednoduchost
+ menší náklady

- malá flexibilita 
- problémy s dodávkou vody při poruše 

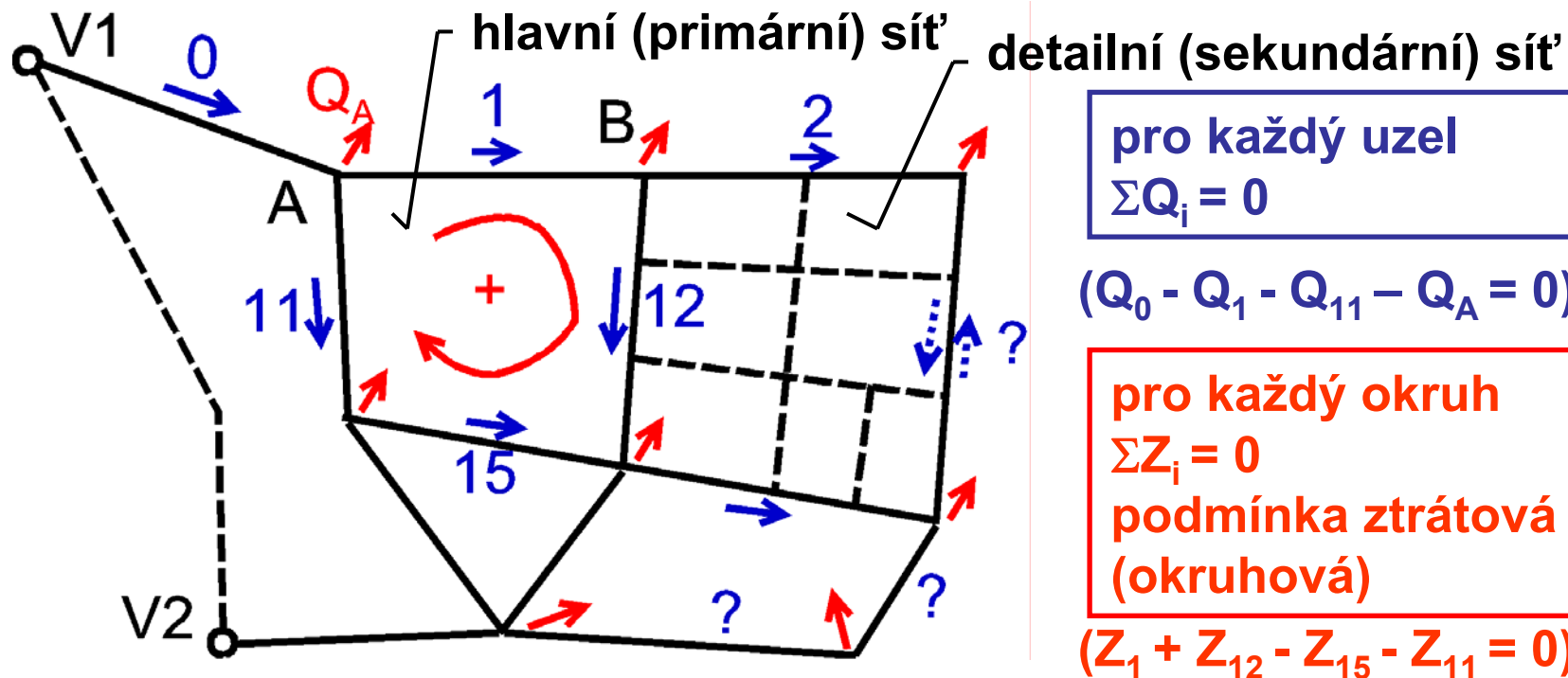
Jsou známé směry a velikosti průtoků v úsecích



Hydraulický výpočet – metoda korekce tlaků (ztrát)

(odhad p_i v uzlech $\rightarrow Z_i$ v úsecích $\rightarrow Q_i$ v úsecích \rightarrow
 $\rightarrow \sum Q_i \neq 0$ v uzlech \rightarrow oprava $p_i \rightarrow \dots$)

Okruhová síť



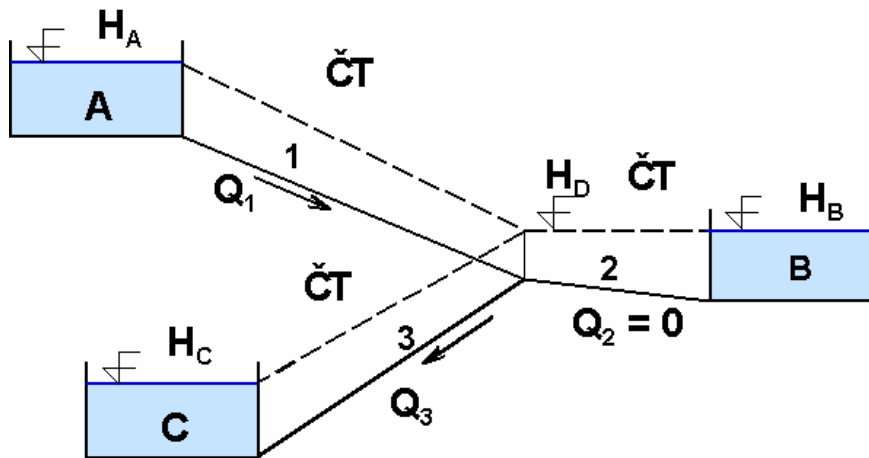
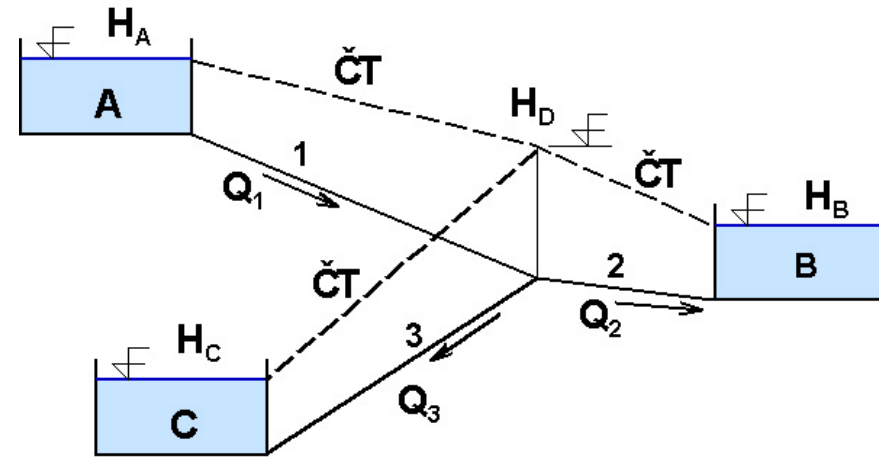
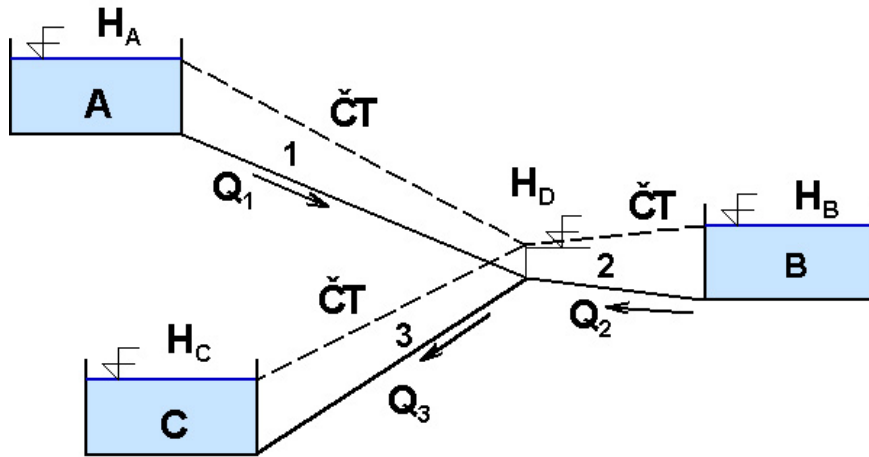
? nejsou známy směry ani velikosti průtoků v úsecích

- složité hydraulicky i provozně
- větší náklady

- + flexibilita – provoz, přetížení
- + dodávka vody i při poruše

Hydraulický výpočet v mnohonásobných iteračních cyklech – metoda korekce průtoků – řešení na PC

Řešení úlohy se 3 vodojemy



$H_D < H_B \Rightarrow$ odtok z vodojemu B
 $H_D > H_B \Rightarrow$ přítok do vodojemu B
 $H_D = H_B \Rightarrow$ voda v potrubí 2
 neproudí

možný iterační postup řešení:
 odhad kóty $H_D \rightarrow Z_{AD}, Z_{BD}, Z_{CD} \rightarrow$
 $\rightarrow Q_1, Q_2, Q_3 \rightarrow$ dle podmínky $\Sigma Q_D = 0$
 oprava $H_D \rightarrow \dots$